



Odpovědný řešitel
Mgr. P. Vlček

Zpracovatel podkladů

Kreslil

Schválil

Ing. M. Polák

Objednatel:

AFRY CZ, s.r.o.

Název zakázky: RS1 VRT Prosenice – Ostrava Svinov, I část
Prosenice – Hranice na Moravě, PřGTP
Doplnění předběžného geotechnického průzkumu
v lokalitě „Philips“

Datum

září 2023

Číslo zakázky

20 7454

Měřítko

Název přílohy:

Dokumentace sond

Číslo přílohy

1.1

Číslo výtisku



Odpovědný řešitel
Mgr. P. Vlček

Zpracovatel podkladů

Kreslil

Schválil

Ing. M. Polák

Objednatel:

AFRY CZ, s.r.o.

Název zakázky: RS1 VRT Prosenice – Ostrava Svinov, I část
Prosenice – Hranice na Moravě, PřGTP
Doplnění předběžného geotechnického průzkumu
v lokalitě „Philips“

Datum

září 2023

Číslo zakázky

20 7454

Měřítko

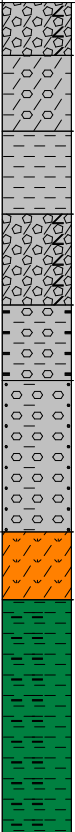
Název přílohy:

**Dokumentace sond současného průzkumu –
jádrové vrty a kopané sondy**

Číslo přílohy

1.1.1




Číslo výtisku

GEOtest, a.s.										Geologická dokumentace										Objekt JV2001									
Hloubka [m]		Stratigrafie		Geologický profil		Popis polohy		Hladiny vody		Odběry vzorků		G-typ		Klasifikace dle ČSN EN ISO 14688		Klasifikace dle ČSN 73 6133		Konzistence/ulehlost		Souřadnice X : 1128524,84 Y : 514175,96 Nadmořská výška : 271,65 Lokalita : Pro-Hra PFGTP Mapa 1:25.000 25-123									
1	2	3	4	5	6	7	8	9	10	11	12	13	14	15	16	17	18	19	20	21	22								
1	2		3	4	5	6	7	8	9	10	11	12	13	14	15	16	17	18	19	20	21	22							
																							A30	0.00-0.70 : navážka - štěrk hlinitý, hnědý, ulehlý, štěrková zrna o velikosti 0,5-10,0 cm, místy až 12 cm, polozaoblená, polymiktní, místy s drobnými kousky cihelné drti, vápnitý, antropogén	GT1	(siGrY)	(G4GMY)	-	POPISNÁ DATA Datum zahájení 09.05.2023 Datum ukončení 09.05.2023 Souprava KGW T9 Technologie TK Jméno operátora Bžatek Dokumentoval Mgr. J. Šutjaková
																							A40	0.70-1.70 : navážka - hlína štěrkovitá, šedočerná, tuhá až pevná, štěrková zrna zaoblená až polozaoblená, velikosti 0,5-18,0 cm, s drobnými úlomky cihel, vápnitá, antropogén	GT1	(grSiY)	(F1MGY))	-	
																							A41	1.70-2.80 : navážka - jíl se střední plasticitou, světlé hnědý, tuhý, prachovitý, místy s tmavými závalky jílu a závalky štěrku, vlhký, nevápnitý, kvartér	GT1	(CIY)	(F6CIY)	-	
																							A30	2.80-4.00 : navážka - štěrk hlinitý, tmavě šedý, ulehlý, hlinitá složka tvrdé konzistence, štěrková zrna velikosti 0,5-4,0 cm (40 %), s příměsí organiky, kousky skla 1,5 cm (2 %), vápnitý, antropogén	GT1	(siGrY)	(G4GMY)	-	
																							A45	4.00-5.00 : navážka - jíl štěrkovitý, běžovošedý, tuhý, místy se štěrkem, při bázi balvan přes průměr vrtu, vlhký, vápnitý, antropogén	GT1	(grCIY)	(F2CGY)	-	
																							A33	5.00-7.00 : navážka - štěrk s příměsí jemnozrnné zeminy, šedý, středně ulehlý, štěrk ostrohranný, místy polozaoblený, velikosti 0,5-5,0 cm, místy s kousky igelitu, navlhlý, vápnitý, antropogén	GT1	(sacIGrY)	(G3GFY)	-	
																							Q19	7.00-7.90 : jíl se střední plasticitou, černý, tuhý (Ic=0,80), prachovitý, místy s písčitou příměsí jemnozrnného písku, vlhký, nevápnitý (Iou=0,1), (pravděpodobně původní niveleta terénu), půdní horizont, nízko-organický (Iou=2,9), deluviální, kvartér	GT3	siCl	F6Cl	Tu	
																							Q41	7.90-10.30 : jíl s nízkou plasticitou, světlé běžový, měkký (Ic=0,56), prachovitý, velmi vlhký, nevápnitý (Iou=0,2), fluviální kvartér	GT6	sasiCl	F6CL	M	
																								10.30-11.00 : jíl s vysokou plasticitou, světle běžový, tuhý, s občasnými černými závalky prachu a rezavými písčitými polohami převážně v hloubce 11,2-11,3 m p.t., nevápnitý, fluviální, kvartér	GT6	(Cl)	(F8CH)	-	
	11.00-13.00 : jíl s vysokou až velmi vysokou plasticitou, šedoběžový, tuhý (Ic=0,85-0,97), smouhovaný, prachovitý, nevápnitý (Iou=0,1-0,5), přelavený neogén	GT8	Cl	F8CH	Tu																								
	13.00-15.00 : jíl s vysokou plasticitou, šedoběžový, pevný (Ic=1,01), smouhovaný, prachovitý, vápnitý (Iou=10,7), neogén	GT9	Cl	F8CH	P																								
INTERVALY VRTÁNÍ [m] 0.0 - 5.0 220 5.0 - 13.0 175 13.0 - 15.0 156																													
POZNÁMKA Hladina podzemní vody nebyla zastižena.																													
POZNÁMKA																													
Měřitko : 1 : 100 ID_OBJ : 186 Projekt : 20 7454 Zpracoval : Mgr. P. Vlček Datum : 03.07.2023 Příloha :																													

GEOtest, a.s.										Geologická dokumentace										Objekt JV2002									
																				Souřadnice X : 1128473,66 Y : 513964,56 Nadmořská výška : 266,75 Lokalita Pro-Hra PFGTP Mapa 1:25.000 25-123									

GEOtest, a.s.						Geologická dokumentace						Objekt JV2003													
Hloubka [m]		Stratigrafie		Geologický profil		Popis polohy						Hladiny vody		Odběry vzorků		G-typ		Klasifikace dle ČSN EN ISO 14688		Klasifikace dle ČSN 73 6133		Konzistence/ulehlost		Souřadnice X : 1128205,44 Y : 513977,39 Nadmořská výška : 278,53 Lokalita : Pro-Hra PFGTP Mapa 1:25.000 25-123	
1		2		3		4						5		6		7		8		9		9			
5		Kvartér		Q19		0.00-0.40 : hlína se střední plasticitou, hnědá, tuhá až pevná, s kořínky, nevápnitá, půdní horizont, kvartér						N 2,05		GT3		(Si)		(F5MI)		-		POPISNÁ DATA Datum zahájení 11.05.2023 Datum ukončení 12.05.2023 Souprava KGW T9 Technologie TK Jméno operátora Bžatek Dokumentoval Mgr. J. Šutjaková			
				0.40-1.00 : jíl se střední plasticitou, světle hnědý, pevný, nevápnitý, sprašová hlína, eolický, kvartér						GT2				(Cl)		(F6Cl)		-							
				1.00-2.00 : jíl se střední plasticitou, světle rezavě hnědý, tuhý až pevný, nevápnitý, sprašová hlína, eolický, kvartér						GT2				(Cl)		(F6Cl)		-							
				Q16		2.00-5.00 : jíl se střední plasticitou, rezavý, tuhý (Ic=0,77-0,96), velmi vlhký, nevápnitý (Iou=0,2-0,3), sprašová hlína, eolický, kvartér								N 3,00 4,00		GT2		siCl		F6Cl		Tu		INTERVALY VRTÁNÍ [m] PRŮMĚR [mm] 0.0 - 6.0 220 6.0 - 10.0 175 10.0 - 15.0 156	
				5.00-6.00 : jíl s vysokou plasticitou, světle šedohnědý, tuhý až pevný, prachovitý, navlhlý, nevápnitý, sprašová hlína, eolický, kvartér						GT2						(siCl)		(F6Cl)		-		POZNÁMKA Hladina podzemní vody nebyla zastížena.			
				6.00-6.70 : jíl s vysokou plasticitou, světle šedohnědý, pevný, prachovitý, navlhlý, nevápnitý, sprašová hlína, eolický, kvartér						GT2						(siCl)		(F6Cl)		-		POZNÁMKA			
				N11		6.70-8.00 : jíl s vysokou plasticitou, světle hnědošedý, tuhý (Ic=0,85), prachovitý, v hloubce 7,0, 7,2 a 8,7 m p.t. s vápnitými cívčáry o velikosti 1-4 cm až jíl štěrkovitý s drobnými opracovanými zrnky, vápnitý (Iou=10,4), neogén								P 6,90		GT8		Cl		F8CH		Tu		POZNÁMKA	
				8.00-10.20 : jíl s vysokou plasticitou, světle hnědošedý, tuhý (Ic=0,84-0,90), místy s rezavými smouhami jemnozrného písku, s drobnými vápnitými konkracemi, spíše ojediněle větší cívčáry o velikosti 1,5 cm (do 5 %), vápnitý (Iou=12,5), neogén						GT8						Cl		F8CH		Tu					
				10.20-11.00 : jíl s vysokou plasticitou, světle hnědošedý, tuhý, místy s rezavými smouhami jemnozrného písku, s drobnými vápnitými konkracemi, spíše ojediněle větší vápnité konkrace (cívčáry) o velikosti 1,5 cm (do 5 %), vápnitý, neogén						GT8						(siCl)		(F8CH)		-					
				S30		11.00-15.00 : jílovec - charakteru jílu s velmi vysokou plasticitou, světle hnědošedý, pevný (Ic=1,01), prachovitý, místy s šedými závalky jemnozrného písku, patrná vrstevnatost, místy drobné úlomky pískovce R5 šedého jemnozrného, poloostrohranného o velikosti 0,5-2,0 cm (3 %), vápnitý (Iou=12,1), neogén								N 14,10		GT9		Cl		R6/F8CV		P		Měřitko : 1 : 100 ID_OBJ : 188 Projekt : 20 7454 Zpracoval : Mgr. P. Vlček Datum : 03.07.2023 Příloha :	


GEOtest, a.s.										Geologická dokumentace										Objekt JV2005																																																																																																																																																																																																																																																																																																																																																																																																																																																																																																																																																																																																																																																																																																																																																																																																																																																																																																																																																																																																																																																																																																																																																																																																																																																																																																																																																																																																																																																																																																																																																																																																																																																																																																																																																																																																																																																																																																																																																																																																																																																																																																																																																																																																																																																																																																																																																																																																																																																																																																																																																																																																																																																																																																																																																																																																																																																																																																																																																																																																																																																																																																																																																																																																																																																																																																																																																																																																																																																																																																																																																																																																																																																																																																																																																																																																																																																																																																																																																																																																																																																																																																																																																																																																																																																																																																																																																																																	
Hloubka [m]										Stratigrafie										Geologický profil										Popis polohy										Hladiny vody										Odběry vzorků										G-typ										Klasifikace dle ČSN EN ISO 14688										Klasifikace dle ČSN 73 6133										Konzistence/ulehlost										Souřadnice X : 1127853,92 Y : 513961,22 Nadmořská výška : 278,70 Lokalita : Pro-Hra PFGTP Mapa 1:25.000 25-123																																																																																																																																																																																																																																																																																																																																																																																																																																																																																																																																																																																																																																																																																																																																																																																																																																																																																																																																																																																																																																																																																																																																																																																																																																																																																																																																																																																																																																																																																																																																																																																																																																																																																																																																																																																																																																																																																																																																																																																																																																																																																																																																																																																																																																																																																																																																																																																																																																																																																																																																																																																																																																																																																																																																																																																																																																																																																																																																																																																																																																																																																																																																																																																																																																																																																																																																																																																																																																																																																																																																																																																																																																																																																																																																																																																																																																																																																																																																																																																																																																																																																																																																																																																																																																																																																																	
1										2										3										4										5										6										7										8										9																																																																																																																																																																																																																																																																																																																																																																																																																																																																																																																																																																																																																																																																																																																																																																																																																																																																																																																																																																																																																																																																																																																																																																																																																																																																																																																																																																																																																																																																																																																																																																																																																																																																																																																																																																																																																																																																																																																																																																																																																																																																																																																																																																																																																																																																																																																																																																																																																																																																																																																																																																																																																																																																																																																																																																																																																																																																																																																																																																																																																																																																																																																																																																																																																																																																																																																																																																																																																																																																																																																																																																																																																																																																																																																																																																																																																																																																																																																																																																																																																																																																																																																																																																																																																																																																																																																					
1										1										Q19										0.00-0.30 : hlína se střední plasticitou, světle hnědá, tuhá, s písčitou příměsí, s kořínky a travním drnem, suchá, nevápnitá, půdní horizont, kvartér																				GT3										(sisaCl)										(F5MI)										-										POPISNÁ DATA Datum zahájení 10.05.2023 Datum ukončení 10.05.2023 Souprava KGW T9 Technologie TK Jméno operátora Bžatek Dokumentoval Mgr. J. Šutjaková																																																																																																																																																																																																																																																																																																																																																																																																																																																																																																																																																																																																																																																																																																																																																																																																																																																																																																																																																																																																																																																																																																																																																																																																																																																																																																																																																																																																																																																																																																																																																																																																																																																																																																																																																																																																																																																																																																																																																																																																																																																																																																																																																																																																																																																																																																																																																																																																																																																																																																																																																																																																																																																																																																																																																																																																																																																																																																																																																																																																																																																																																																																																																																																																																																																																																																																																																																																																																																																																																																																																																																																																																																																																																																																																																																																																																																																																																																																																																																																																																																																																																																																																																																																																																																																																																																											
2										2										Q17										0.30-1.70 : hlína se střední plasticitou, světle hnědá, tuhá, prachovitá, vlhká, nevápnitá, eolický, kvartér																				GT2										(siCl)										(F5MI)										-																																																																																																																																																																																																																																																																																																																																																																																																																																																																																																																																																																																																																																																																																																																																																																																																																																																																																																																																																																																																																																																																																																																																																																																																																																																																																																																																																																																																																																																																																																																																																																																																																																																																																																																																																																																																																																																																																																																																																																																																																																																																																																																																																																																																																																																																																																																																																																																																																																																																																																																																																																																																																																																																																																																																																																																																																																																																																																																																																																																																																																																																																																																																																																																																																																																																																																																																																																																																																																																																																																																																																																																																																																																																																																																																																																																																																																																																																																																																																																																																																																																																																																																																																																																																																																																																																																																					
3										3										1.70-3.00 : jíl se střední plasticitou, okrově hnědý s hnědým a rezavým smouhováním, tuhý, prachovitý, nevápnitý, eolický, kvartér																				GT2										(Cl)										(F6Cl)										-										INTERVALY VRTÁNÍ PRŮMĚR [m] [mm] 0.0 - 8.0 220																																																																																																																																																																																																																																																																																																																																																																																																																																																																																																																																																																																																																																																																																																																																																																																																																																																																																																																																																																																																																																																																																																																																																																																																																																																																																																																																																																																																																																																																																																																																																																																																																																																																																																																																																																																																																																																																																																																																																																																																																																																																																																																																																																																																																																																																																																																																																																																																																																																																																																																																																																																																																																																																																																																																																																																																																																																																																																																																																																																																																																																																																																																																																																																																																																																																																																																																																																																																																																																																																																																																																																																																																																																																																																																																																																																																																																																																																																																																																																																																																																																																																																																																																																																																																																																																																																																					
4										4										Q41										3.00-6.20 : jíl s nízkou plasticitou, světle šedohnědý, měkký až tuhý (Ic=0,72), s rezavým smouhováním, v hl. 4,4 m p.t. místy až jíl písčitý - písčitá vložka, nevápnitý, vlhký, v písčitých polohách nasycený (v hl. 4,4; 4,8 a 5,8), nevápnitý (Iou=0,3), sprašová hlína, eolický, kvartér										GT2										sasiCl										F6CL										Tu																																																																																																																																																																																																																																																																																																																																																																																																																																																																																																																																																																																																																																																																																																																																																																																																																																																																																																																																																																																																																																																																																																																																																																																																																																																																																																																																																																																																																																																																																																																																																																																																																																																																																																																																																																																																																																																																																																																																																																																																																																																																																																																																																																																																																																																																																																																																																																																																																																																																																																																																																																																																																																																																																																																																																																																																																																																																																																																																																																																																																																																																																																																																																																																																																																																																																																																																																																																																																																																																																																																																																																																																																																																																																																																																																																																																																																																																																																																																																																																																																																																																																																																																																																																																																																																																																																																															
5										5										Q61										6.20-8.00 : jíl s nízkou plasticitou, šedohnědý, měkký až tuhý (Ic=0,56), prachovitý, vápnitý (Iou=6,6), spraš (při bázi až hnědošedý barva -> přechod do neogenních jílu), eolický, kvartér										6,20										P										6,90										GT2										siCl										F6CL										M-Tu										PODZEMNÍ VODA 1. naražená hladina 6.20 m Ustálená hladina 2.70 m Datum zjištění 10.05.2023																																																																																																																																																																																																																																																																																																																																																																																																																																																																																																																																																																																																																																																																																																																																																																																																																																																																																																																																																																																																																																																																																																																																																																																																																																																																																																																																																																																																																																																																																																																																																																																																																																																																																																																																																																																																																																																																																																																																																																																																																																																																																																																																																																																																																																																																																																																																																																																																																																																																																																																																																																																																																																																																																																																																																																																																																																																																																																																																																																																																																																																																																																																																																																																																																																																																																																																																																																																																																																																																																																																																																																																																																																																																																																																																																																																																																																																																																																																																																																																																																																																																																																																																																																																																																																																																																							
6										6																																																																																																																																																																																																																																																																																																																																																																																																																																																																																																																																																																																																																																																																																																																																																																																																																																																																																																																																																																																																																																																																																																																																																																																																																																																																																																																																																																																																																																																																																																																																																																																																																																																																																																																																																																																																																																																																																																																																																																																																																																																																																																																																																																																																																																																																																																																																																																																																																																																																																																																																																																																																																																																																																																																																																																																																																																																																																																																																																																																																																																																																																																																																																																																																																																																																																																																																																																																																																																																																																																																																																																																																																																																																																																																																																																																																																																																																																																																																																																																																																																																																																																																																																																																																																																																																																																																																																																																											
7										7																																																																																																																																																																																																																																																																																																																																																																																																																																																																																																																																																																																																																																																																																																																																																																																																																																																																																																																																																																																																																																																																																																																																																																																																																																																																																																																																																																																																																																																																																																																																																																																																																																																																																																																																																																																																																																																																																																																																																																																																																																																																																																																																																																																																																																																																																																																																																																																																																																																																																																																																																																																																																																																																																																																																																																																																																																																																																																																																																																																																																																																																																																																																																																																																																																																																																																																																																																																																																																																																																																																																																																																																																																																																																																																																																																																																																																																																																																																																																																																																																																																																																																																																																																																																																																																																																																																																																																																											

GEOtest, a.s.				Geologická dokumentace				Objekt										
				JV2007				Souřadnice X : 1127557,88 Y : 514162,72										
				Nadmořská výška : 270,48				Lokalita Pro-Hra PřGTP										
				Mapa 1:25.000 25-123														
Hloubka [m]	Stratigrafie	Geologický profil	Popis polohy	Hladiny vody	Odběry vzorků	G-typ	Klasifikace dle ČSN EN ISO 14688	Klasifikace dle ČSN 73 6133	Konzistence/ulehlost									
1	2	3	4	5	6	7	8	9	9									
1	A		A39 0.00-0.30 : navážka - hlína se střední plasticitou, hnědočerný, tuhá, s kořínky, vlhká, nevápnitá, půdní horizont, antropogén	<div>KONT</div> <div>0,45</div>	GT1	(SiY)	(F5MIY)	-	<div>POPISNÁ DATA</div> <div>Datum zahájení 22.05.2023</div> <div>Datum ukončení 22.05.2023</div> <div>Souprava ADBS V3S</div> <div>Technologie TK</div> <div>Jméno operátora Bžatek</div> <div>Dokumentoval Mgr. J. Šutjaková</div> <div>INTERVALY VRTÁNÍ PRŮMĚR</div> <div>[m] [mm]</div> <div>0.0 - 4.0 220</div> <div>4.0 - 10.0 175</div> <div>10.0 - 15.0 156</div> <div>PODZEMNÍ VODA</div> <div>Ustálená hladina 10.40 m</div> <div>Datum zjištění 23.05.2023</div> <div>POZNÁMKA</div> <div>Naražená HPV nezjištěna.</div> <div>POZNÁMKA</div> <div>Z hloubek 2,3-3,0 a 4,0-5,0 m p.t. (označení T) odebrány vzorky na:</div> <div>1) RTG - difrakční fázovou analýzu; 2) laboratorní zkoušky na rekonstituovaných vzorcích</div>									
			A41 0.30-0.60 : navážka - jíl se střední plasticitou, hnědý, tuhý, prachovitý, s vápnitými konkrlemi (5 %), s kousky cihly, vlhký, vápnitý, antropogén		GT1	(CIY)	(F6CIY)	-										
			Q16 0.60-1.30 : jíl se střední plasticitou, hnědý s šedým smouhováním, tuhý, prachovitý, vlhký, nevápnitý, sprašová hlína, eolický, kvartér		GT2	(siCl)	(F6Cl)	-										
			Q41 1.30-2.20 : jíl se střední plasticitou, hnědý s šedým smouhováním, tuhý (Ic=0,70), s patrným usměrněním, místy s jemnozrnnou písčitou příměsí a drobnými štěrkovými zrny o velikosti do 0,5 cm, prachovitý, vlhký, nevápnitý (Iou=0,1), deluviální, kvartér		GT4	siCl	F6Cl	Tu										
			Q41 2.20-3.80 : jíl s vysokou plasticitou, světle šedohnědý, tuhý (Ic=0,84), prachovitý, s jemnozrnně písčitými polohami, s vápnitými konkrlemi, spíše ojediněle se štěrkem velikosti 1,0-2,5 cm opracovaného tvaru (3 %), vlhký, slabě vápnitý (Iou=10,3), deluviální, kvartér		GT4	Cl	F8CH	Tu										
5	Kvartér		Q41 3.80-5.50 : jíl s vysokou plasticitou, hnědý s polohami rezavého a šedého jemnozrnného písku, tuhý (Ic=0,74) místy až pevný (v hloubce 4,7-4,8 kostičkovitě rozpadavý), vrstvy vzájemně promísené, možná svahová nestabilita, slabě vápnitý (Iou=10,1), deluviální, kvartér		<div>N</div> <div>2,10</div>	GT4	Cl	F8CH					Tu	<div>T</div> <div>2,70</div>	<div>P</div> <div>3,30</div>			
4			<div>T</div> <div>4,50</div>		GT4	Cl	F8CH	Tu					<div>N</div> <div>5,40</div>					
6	Neogén		N11 5.50-5.80 : jíl s vysokou plasticitou, hnědošedý, tuhý, slabě písčitý, vlhký, vápnitý, neogén		<div>N</div> <div>7,10</div>	GT8	(saCl)	(F8CH)					-	<div>T</div> <div>8,00</div>	<div>U</div> <div>10,40</div>	<div>N</div> <div>11,10</div>	<div>N</div> <div>14,50</div>	
7			5.80-15.00 : jílovec - charakteru jílu s vysokou až velmi vysokou plasticitou - až jílovec R5, tmavěšedý, pevný (Ic=1,01-1,16), s patrnou vrstevnatostí, místy rozvrtáno na ostrohranné úlomky, v rukou lze rozlomit, až písek velmi uhlý, vápnitý (Iou=14,6-16,9), neogén		GT9	Cl	R6/F8CH-CV	P										
8																		
9																		
10																		
11																		
12																		
13																		
14																		

Geologická dokumentace											Souřadnice		X : 1127496,10	Y : 514223,88	Z : 264,00	Pro-Hra PŘGTFA 25-123	
Hloubka [m]	Stratigrafie	Geologický profil	Popis polohy			Hladiny vody	Odběry vzorků	G-typ	Klasifikace dle ČSN EN ISO 14688	Klasifikace dle ČSN 73 6133	Konzistence/ulehl.	Nadmořská výška	Lokalita	Mapa 1:25.000			
1	2	3	4			5	6	7	8			9					
1	A	A39	0.00-0.20 : navázka - hlína se střední plasticitou, hnědá, tuhá, nevápnitá, antropogén			U VODA 2,40 2,70 3,40	P KONT 5,75	GT1	(siCl)Y	(F5MI)Y	-	POPIŠNÁ DATA Datum zahájení 15.05.2023 Datum ukončení 15.05.2023 Souprava KGW T3 Technologie TK Jméno operátora Bžatek Dokumentoval Mgr. J. Šutjaková					
		A28	0.20-0.40 : navázka - štěrk s příměsí jemnozrnné zeminy, středně ulehlý, světle hnědý, zrna polozaoblená, opracovaná, velikosti 0,2-3,0 cm (30 %), vápnitý, antropogén					GT1	(saGr)Y	(G3G-FY)	-						
		A34	0.40-0.60 : navázka - štěrk s příměsí jemnozrnné zeminy, středně ulehlý, černý, zrna 0,5-0,8 cm, ostrohranná, vápnitý, antropogén					GT1	(clGrY)	(G5GCY)	-						
		2	Q41	0.60-1.30 : navázka - štěrk jílovitý, rezavě tmavě hnědý, středně ulehlý, zrna ostrohranná o velikosti průměrně 1-3 cm (40 %), písčité příměs, vápnitý, antropogén				GT6	(siCl)	(F6Cl)	-						
				1.30-2.40 : jíl se střední plasticitou, šedohnědý, tuhý, prachovitý, nevápnitý, deluvio-fluviální, kvartér				GT6	Cl	F8CH	Tu						
3	Kvartér	Q34	2.40-3.40 : jíl s vysokou plasticitou, hnědošedý, tuhý (Ic=0,76) až pevný, smouhovaný, s cicváry, s drobným štěrkem velikosti 0,3 cm, ojediněle štěrková zrna poloostrohranná velikosti až 3,5 cm (2 %), s organikou a drobnými úlomky zetlelého dřeva s jemnozrnnou písčitou příměsí, slabě vápnitý (lou=12,7) - možná antropogenní vápnitá příměs, deluvio-fluviální, kvartér			GT7	(saGr)	(G3G-F)	-	INTERVALY VRTÁNÍ [m] PRŮMĚR [mm] 0.0 - 3.0 220 3.0 - 9.0 175							
3.40-4.20 : štěrk s příměsí jemnozrnné zeminy, hnědorezavý, zvodnělý (směrem do hloubky středně ulehlý), zrna poloostrohranná i polozaoblená, mezerní výplň tvoří střednězrnný a hrubozrnný písek, zrna štěrku velikosti průměrně 0,3-1,0 cm, nevápnitý, fluviální, kvartér			GT7	sagrcIS	G4GM	-											
4							5	Q35	4.20-7.00 : štěrk hlinitý, modrošedý, místy zvodnělý, zrna drobná velikosti 0,2 cm až velikosti 8 cm, převážně plochého tvaru, opracovaná a polozaoblená, nevápnitý, v hloubce 4,2-4,3 a 5,6-5,8 převažuje jílovitá složka (až jíl s vysokou plasticitou, tmavše šedý, tuhý), při bázi až jíl štěrkovitý, nevápnitý (lou=0,4), fluviální, kvartér								
6			Neogén	S30	7.00-9.00 : jílovec - charakteru jílu s vysokou plasticitou, modrošedý, pevný, s prachovitou a písčitou příměsí, v hloubce 7,05, 8,20 a 8,50 m p.t. písčité vločka o mocnosti až 1 cm, navlhlý, vápnitý, neogén				GT9	(sasiCl)	R6/(F8CH)	-	POZNÁMKA Ustálená hladina podzemní vody změřena 1 hod po odvrtní z důvodu nutnosti zapravení a likvidace vrtu kvůli bezpečnosti chodců.				
7																	
8												POZNÁMKA					
9																	
10												Měřítka : 1 : 100 ID_OBJ : 193 Projekt : 20 7454 Zpracoval : Mgr. P. Vlček Datum : 03.07.2023 Příloha :					
11																	
12																	
13																	
14																	

GEOtest, a.s.				Geologická dokumentace				Objekt JV2009			
								Souřadnice X : 1127043,28 Y : 514304,57 Nadmořská výška : 268,54 Lokalita Pro-Hra PFGTP Mapa 1:25.000 25-123			
								9			
								POPISNÁ DATA			
								Datum zahájení 22.05.2023 Datum ukončení 22.05.2023 Souprava ADBS V3S Technologie TK Jméno operátora Bžatek Dokumentoval Mgr. J. Šutjaková			
								INTERVALY VRTÁNÍ PRŮMĚR			
								[m] [mm]			
								0.0 - 4.0 220 4.0 - 9.0 175			
								PODZEMNÍ VODA			
								1. naražená hladina 2.80 m Ustálená hladina 1.20 m Datum zjištění 22.05.2023			

GEOtest, a.s.										Objekt JV1092			
Geologická dokumentace										Souřadnice X : 1128281,62 Y : 514280,64 Nadmořská výška : 278,83 Lokalita : Pro-Hra přGTP Mapa 1:25.000 25-123			
Hloubka [m]	Stratigrafie	Geologický profil	Popis polohy					Hladiny vody	Odběry vzorků	G-typ	Klasifikace dle ČSN EN ISO 14688	Klasifikace dle ČSN 73 6133	Konzistence/ulehlost
1	2	3	4					5	6	7	8		
1	Kvartér	Q19	0.00-0.50 : hlína s nízkou plasticitou, hnědá, nesoudržná a příměsí písku, kořenový systém - ornice, kvartér							GT3	(sasiCl)	(F5ML)	-
2		Q16	0.50-6.00 : jíl se střední plasticitou, hnědý, pevný lc=1,06 - 1,60 až tvrdý, sprašová hlína (spraš), eolický, kvartér							GT2	siCl	F6Cl	P-Tv
3													
4													
5													
6													
7													
8													
9													
10													
11													
12													
13													
14													
										POPISNÁ DATA			
										Datum zahájení 18.08.2022 Datum ukončení 18.08.2022 Souprava HVS482 Technologie TK Jméno operátora Lučan Dokumentoval Ing. R. Štaffen			
										INTERVALY VRTÁNÍ PRŮMĚR [m] [mm]			
										0.0 - 6.0 196			

GEOtest, a.s.										Geologická dokumentace										Objekt KS1093																																																																																																																																																																																																																																																																																																																																																																																																																																																																																																																																																																																																																																																																																																																																																																																																																																																																																																																																																																																																																																																																																																																																																																																																																																																																																																																																																																																																																																																																																																																																																																																																																																																																																																																																																																																																																																																																																																																																																																																																																																																																																																																																																																																																																																																																																																																																																																																																																																																																																																																																																																																																																																																																																																																																																																																																																																																																																																																																																																																																																																																																																																																																																																																																																																																																																																																																																																																																																																																																																																																																																																																																																																																																																																																																																																																																																																																																																																																																																																																																																																																																																																																																																																																																																																																																																																																																																																																																																																																																																																																																																																																																																																																																																																																																																																																																																																																																																											
Hloubka [m]										Stratigrafie										Geologický profil										Popis polohy										Hladiny vody										Odběry vzorků										G-typ										Klasifikace dle ČSN EN ISO 14688										Klasifikace dle ČSN 73 6133										Konzistence/ulehlost										Souřadnice X : 1128206,36 Y : 514168,52 Nadmořská výška : 274,48 Lokalita Pro-Hra pFGTP Mapa 1:25.000 25-123																																																																																																																																																																																																																																																																																																																																																																																																																																																																																																																																																																																																																																																																																																																																																																																																																																																																																																																																																																																																																																																																																																																																																																																																																																																																																																																																																																																																																																																																																																																																																																																																																																																																																																																																																																																																																																																																																																																																																																																																																																																																																																																																																																																																																																																																																																																																																																																																																																																																																																																																																																																																																																																																																																																																																																																																																																																																																																																																																																																																																																																																																																																																																																																																																																																																																																																																																																																																																																																																																																																																																																																																																																																																																																																																																																																																																																																																																																																																																																																																																																																																																																																																																																																																																																																																																																																																																																																																																																																																																																																																																																																																																																																																																																																																																																																																											
1										2										3										4										5										6										7										8										9																																																																																																																																																																																																																																																																																																																																																																																																																																																																																																																																																																																																																																																																																																																																																																																																																																																																																																																																																																																																																																																																																																																																																																																																																																																																																																																																																																																																																																																																																																																																																																																																																																																																																																																																																																																																																																																																																																																																																																																																																																																																																																																																																																																																																																																																																																																																																																																																																																																																																																																																																																																																																																																																																																																																																																																																																																																																																																																																																																																																																																																																																																																																																																																																																																																																																																																																																																																																																																																																																																																																																																																																																																																																																																																																																																																																																																																																																																																																																																																																																																																																																																																																																																																																																																																																																																																																																																																																																																																																																																																																																																																																																																																																																																																																																																																																																															
1										Kvartér																				Q19										0.00-0.30 : hlína s nízkou plasticitou - ornice										GT3										(Si)										(F5ML)										-										POPISNÁ DATA																																																																																																																																																																																																																																																																																																																																																																																																																																																																																																																																																																																																																																																																																																																																																																																																																																																																																																																																																																																																																																																																																																																																																																																																																																																																																																																																																																																																																																																																																																																																																																																																																																																																																																																																																																																																																																																																																																																																																																																																																																																																																																																																																																																																																																																																																																																																																																																																																																																																																																																																																																																																																																																																																																																																																																																																																																																																																																																																																																																																																																																																																																																																																																																																																																																																																																																																																																																																																																																																																																																																																																																																																																																																																																																																																																																																																																																																																																																																																																																																																																																																																																																																																																																																																																																																																																																																																																																																																																																																																																																																																																																																																																																																																																																																																																																																																					
																														Q61										0.30-0.70 : jíl s nízkou plasticitou - spraš, šedohnědá, tvrdá konzistence lc= 1,27										GT2										siCl										F6Cl										Tv																																																																																																																																																																																																																																																																																																																																																																																																																																																																																																																																																																																																																																																																																																																																																																																																																																																																																																																																																																																																																																																																																																																																																																																																																																																																																																																																																																																																																																																																																																																																																																																																																																																																																																																																																																																																																																																																																																																																																																																																																																																																																																																																																																																																																																																																																																																																																																																																																																																																																																																																																																																																																																																																																																																																																																																																																																																																																																																																																																																																																																																																																																																																																																																																																																																																																																																																																																																																																																																																																																																																																																																																																																																																																																																																																																																																																																																																																																																																																																																																																																																																																																																																																																																																																																																																																																																																																																																																																																																																																																																																																																																																																																																																																																																																																																																																																															
																														2										3										4										5										6										7										8										9										10										11										12										13										14										Datum zahájení 07.09.2022 Datum ukončení 07.09.2022 Souprava Bagr-Komatsu Dokumentoval Sedlačko																																																																																																																																																																																																																																																																																																																																																																																																																																																																																																																																																																																																																																																																																																																																																																																																																																																																																																																																																																																																																																																																																																																																																																																																																																																																																																																																																																																																																																																																																																																																																																																																																																																																																																																																																																																																																																																																																																																																																																																																																																																																																																																																																																																																																																																																																																																																																																																																																																																																																																																																																																																																																																																																																																																																																																																																																																																																																																																																																																																																																																																																																																																																																																																																																																																																																																																																																																																																																																																																																																																																																																																																																																																																																																																																																																																																																																																																																																																																																																																																																																																																																																																																																																																																																																																																																																																																																																																																																																																																																																																																																																																																																																																																																																																																															
5																																								P										0,70										GT2										siCl										F6Cl										Tu-P										POZNÁMKA																																																																																																																																																																																																																																																																																																																																																																																																																																																																																																																																																																																																																																																																																																																																																																																																																																																																																																																																																																																																																																																																																																																																																																																																																																																																																																																																																																																																																																																																																																																																																																																																																																																																																																																																																																																																																																																																																																																																																																																																																																																																																																																																																																																																																																																																																																																																																																																																																																																																																																																																																																																																																																																																																																																																																																																																																																																																																																																																																																																																																																																																																																																																																																																																																																																																																																																																																																																																																																																																																																																																																																																																																																																																																																																																																																																																																																																																																																																																																																																																																																																																																																																																																																																																																																																																																																																																																																																																																																																																																																																																																																																																																																																																																																																																																																																																											
																																								P										2,00																																																																																																																																																																																																																																																																																																																																																																																																																																																																																																																																																																																																																																																																																																																																																																																																																																																																																																																																																																																																																																																																																																																																																																																																																																																																																																																																																																																																																																																																																																																																																																																																																																																																																																																																																																																																																																																																																																																																																																																																																																																																																																																																																																																																																																																																																																																																																																																																																																																																																																																																																																																																																																																																																																																																																																																																																																																																																																																																																																																																																																																																																																																																																																																																																																																																																																																																																																																																																																																																																																																																																																																																																																																																																																																																																																																																																																																																																																																																																																																																																																																																																																																																																																																																																																																																																																																																																																																																																																																																																																																																																																																																																																																																																																																																																																																																																																																													

GEOTest, a.s.

Geologická dokumentace

GEOtest, a.s.				Geologická dokumentace				Objekt JV1096				
								Souřadnice X : 1128032,86 Y : 513734,85 Nadmořská výška : 291,51 Lokalita Pro-Hra přGTP Mapa 1:25.000 25-123				
Hloubka [m]	Stratigrafie	Geologický profil	Popis polohy	Hladiny vody	Odběry vzorků	G-typ	Klasifikace dle ČSN EN ISO 14688	Klasifikace dle ČSN 73 6133	Konzistence/ulehlost			
1	2	3	4	5	6	7	8			9		
1 2 3 4	Kvartér	Q19	0.00-1.20 : hlína s nízkou plasticitou, hnědá, nesoudržná a příměsí písku, kořenový systém - ornice, kvartér	T 2,25	GT3	(sasiCl)	(F5ML)	-	POPISNÁ DATA			
		Q16	1.20-4.50 : Jíl s nízkou až střední plasticitou, hnědý, tuhý až pevný, lc= 0,97, sprašová hlína, eolický, kvartér			GT2	siCl	F6Cl	P-Tv	Datum zahájení 23.08.2022 Datum ukončení 23.08.2022 Souprava ADBS/V3S Technologie TK Jméno operátora Zapletal Dokumentoval Ing. R. Štaffen		
	5 6 7 8 9 10 11	Neogén	N11		4.50-11.00 : jíl s vysokou plasticitou, hnědo-šedý, pevný,lc=0,83 - 0,96, vápnitý, neogén	P 4,75	GT8	Cl/siCl	F8CH	P	INTERVALY VRTÁNÍ	PRŮMĚR
											[m]	[mm]
12 13 14				N 10,90						0.0 - 4.0 220 4.0 - 6.0 195 6.0 - 11.0 175		
										Měřítka : 1 : 100 ID_OBJ : 111 Projekt : 20 7454 Zpracoval : Mgr. P. Vlček Datum : 19.04.2023 Příloha :		

Geologická dokumentace

Hlubka [m]

Stratigrafie

Geologický profil

1

2

3

1

2

3

4

5

6

7

8

9

10

11

12

13

14

15

16

17

18

19

20

21

22

23

24

25

26

27

28

29

30

31

32

33

34

Kvartér

Neogén

Q19

Q16

N11

N22

N11

Popis polohy

4

0.00-0.50 : hlína s nízkou plasticitou, hnědá, nesoudržná a příměsí písku, kořenový systém - ornice, kvartér

0.50-1.30 : hlína s nízkou plasticitou, světle hnědá, pevná, sprašová hlína, eolická, kvartér

1.30-4.60 : hlína s nízkou plasticitou, hnědá až tmavě, rezavě smouhovaná, pevná až tvrdá, (4,6 m.p.t. písčitá jemnozrná vložka), sprašová hlína, deluvio-eolická, kvartér

4.60-6.80 : jíl s vysokou plasticitou, hnědý, rezavě a šedě smouhovaný, pevný až tvrdý (lc= 1,01) přechod do podloží, neogén

6.80-12.30 : jíl s vysokou až velmi vysokou plasticitou, šedý, vápnitý, místy až charakteru slabě zpevněného jílovce, rozpadavý (6,8 - 8,0 a 1,0 - 12,3 m.p.t. promísený s písčítým, hnědorezavým jílem, pevným až tvrdým, neogén

12.30-22.50 : jíl s vysokou až velmi vysokou plasticitou, šedý, tvrdý, lc= 1,14-1,16, částečně až charakteru slabě zpevněného jílovce, vápnitý, rozpadavý, neogén

22.50-27.00 : jíl s vysokou až velmi vysokou plasticitou, šedý, tvrdý, lc= 1,14 - 1,29, částečně až charakteru slabě zpevněného jílovce, světle šedého, s příměsí písku, vápnitý, rozpadavý, neogén

27.00-29.00 : písk špatně zrněný, šedobílý, částečné až charakteru slabě stmelového pískovce, charakteru zeminy s ojedinělými ostrohranými úlomky horniny, neogén

29.00-30.00 : jíl s vysokou až velmi vysokou plasticitou, šedý, tvrdý, lc= 1,16, částečné až charakteru slabě stmelového jílovce, vápnitý, rozvrtaný, neogén

Hladiny vody

Odběry vzorků

G-typ

Klasifikace dle ČSN EN ISO 14688

Klasifikace dle ČSN 73 6133

Konzistence/ulehlost

7

8

GT3

(sasiCl)

(F5ML)

-

GT2

(clSi)

(F5ML)

-

GT2

(clSi)

(F5ML)

-

GT8

Cl

F8CH

P-Tv

GT9

(Cl)

(F8CH/CV)

-

GT9

(Cl)

(F8CH/CV)

Tv

GT9

Cl/siCl

F8CH

-

GT10

(clSa)

(S2SP)

-

GT9

Cl

F8CH

Tv

6,50

11,80

13,15

17,40

17,40

20,95

22,30

29,95

POPISNÁ DATA

Datum zahájení

30.08.2022

Datum ukončení

30.08.2022

Souprava

ADBS/V3S

Technologie

TK

Jméno operátora

Zapletal

Dokumentoval

Ing. R. Štaffen

INTERVALY VRTÁNÍ

[m]

PRŮMĚR

[mm]

0.0 - 4.0

220

4.0 - 11.0

195

11.0 - 30.0

175

PODZEMNÍ VODA

1. naražená hladina

11.80 m

2. naražená hladina

22.30 m

Ustálená hladina

17.40 m

Datum zjištění

31.08.2022

Měřítko

:

1 : 100

ID_OBJ

:

151

Projekt

:

20 7454

Zpracoval

:

Mgr. P. Višek

Datum

:

19.04.2023

Příloha

GEOTest, a.s.

Geologická dokumentace

Hloubka [m]

Stratigrafie

Geologický profil

1

2

3

1

2

3

4

5

6

7

8

9

10

11

12

13

14

15

16

17

18

19

20

21

22

23

24

25

26

27

28

29

30

31

32

33

34

Kvartér

Q19

Q35

N11

Popis polohy

0.00-0.70 : hlína písčitá, hnědá, vlhká, drobnivá, částečně soudržná s kořenovým systémem - ornice, kvartér

0.70-2.70 : štěrk s příměsí jemnozrnné zeminy, hnědý do šeda, zvodnělý, valouny ostrohranné až polozaoblené(50 %), příměs písku, valouny (do vel. průměru vrtu - 4 ks v 1,8 - 2,1 m.p.t.) do 10 cm, u báze promíseno s podložím, HCl -, kvartér

2.70-15.00 : jíl s vysokou až velmi vysokou plasticitou, šedý, pevné až tvrdé konzistence, lc= 1,06 - 1,10, soudržný - místy až charakteru slabě zpevněného jílovce, tenké vložky jemnozrnného šedého písku, mokrého až zvodnělého, kolem zvodnělých polok písek nebo horninové úlomky - může být způs. vrtáním, HCl +, (char. horninových úlomků 9,5 - 10; 12,5 - 13,7 m.p.t.), neogén

15.00-25.00 : jíl s vysokou plasticitou až jílovec zpevněný (částečně nesoudržný/poškozený vrtáním), šedý, pevný až tvrdý lc= 1,05 - 1,08, charakter štěrku s příměsí jemnozrnné zeminy, ostrohranné úlomky jílovce (R5), polohy rozvrtané s patrnou vrstevnatostí, 22,8 - 23,0 m.p.t. (rozpadené až na písek, HCl -1), neogén

25.00-30.00 : jíl s velmi vysokou plasticitou, šedý, tvrdé konzistence lc= 1,12, soudržný - místy až charakteru slabě zpevněného jílovce, patrná vrstevnatost, místy slabě písčité, HCl = 1, neogén

Hladiny vody

Odběry vzorků

G-typ

Klasifikace dle ČSN EN ISO 14688

Klasifikace dle ČSN 73 6133

Konzistence/ulehlost

5

6

7

8

9

GT3

(sasiCl)

(F3MS)

-

GT7

Gr

G3G-F

-

GT9

Cl

F8CH/CV

P-Tv

GT9

Cl

(R6)F8CV

P-Tv

GT9

Cl

F8CV

Tv

Objekt

JV1099

Souřadnice X : 1127880,54
Y : 513360,45
Nadmořská výška : 264,78
Lokalita Pro-Hra přiGTP
Mapa 1:25.000 25-123

POPISNÁ DATA

Datum zahájení 25.08.2022
Datum ukončení 26.08.2022
Souprava ADBS/V3S
Technologie TK
Jméno operátora Zapletal
Dokumentoval Mgr. J. Bízova/Bc. J. Pokorná

INTERVALY VRTÁNÍ

[m]

0.0 - 3.0 220
3.0 - 21.5 175
21.5 - 30.0 156

PODZEMNÍ VODA

1. naražená hladina 0.70 m
2. naražená hladina 19.30 m
Ustálená hladina 1.10 m
Datum zjištění 29.08.2022

POZNÁMKA

Posun vrtu na druhou stranu potoka

POZNÁMKA

Pevnost horniny v rozmezí cca 15,0 - 25,0 m.p.t. nelze přesněji odhadnout díky technologii vrtání TK

Měřítko : 1 : 100
ID_OBJ : 112
Projekt : 20 7454
Zpracoval : Mgr. P. Vlček
Datum : 19.04.2023
Příloha :

GeoTest, a.s.

Geologická dokumentace

<

EOtest, a.s.

Geologická dokumentace

GEOtest, a.s.										Geologická dokumentace										Objekt KS1106																																																																																																																																																																																																																																																																																																																																																																																																																																																																																																																																																																																																																																																																																																																																																																																																																																																																																																																																																																																																																																																																																																																																																																																																																																																																																																																																																																																																																																																																																																																																																																																																																																																																																																																																																																																																																																																																																																																																																																																																																																																																																																																																																																																																																																																																																																																																																																																																																																																																																																																																																																																																																																																																																																																																																																																																																																																																																																																																																																																																																																																																																																																																																																																																																																																																																																																																																																																																																																																																																																																																																																																																																																																																																																																																																																																																																																																																																																																																																																																																																																																																																																																																																																																																																																																																																																																																																																																																																																																																																																																																																																																																																																																																																																																																																																																																																																																																																																																																																																																																																																																																																																																																																																																																																																																																																																																																																																																																																																																																																																																																																																																																																																																																																																																											
Hloubka [m]										Stratigrafie										Geologický profil										Popis polohy										Hladiny vody										Odběry vzorků										G-typ										Klasifikace dle ČSN EN ISO 14688										Klasifikace dle ČSN 73 6133										Konzistence/ulehlost										Souřadnice X : 1127550,04 Y : 512930,33 Nadmořská výška : 280,36 Lokalita Pro-Hra přGTP Mapa 1:25.000 25-123																																																																																																																																																																																																																																																																																																																																																																																																																																																																																																																																																																																																																																																																																																																																																																																																																																																																																																																																																																																																																																																																																																																																																																																																																																																																																																																																																																																																																																																																																																																																																																																																																																																																																																																																																																																																																																																																																																																																																																																																																																																																																																																																																																																																																																																																																																																																																																																																																																																																																																																																																																																																																																																																																																																																																																																																																																																																																																																																																																																																																																																																																																																																																																																																																																																																																																																																																																																																																																																																																																																																																																																																																																																																																																																																																																																																																																																																																																																																																																																																																																																																																																																																																																																																																																																																																																																																																																																																																																																																																																																																																																																																																																																																																																																																																																																																																																																																																																																																																																																																																																																																																																																																																																																																																																																																																																																																																																																																																																																																																																																																																																																																																																											
1										2										3										4										5										6										7										8										9																																																																																																																																																																																																																																																																																																																																																																																																																																																																																																																																																																																																																																																																																																																																																																																																																																																																																																																																																																																																																																																																																																																																																																																																																																																																																																																																																																																																																																																																																																																																																																																																																																																																																																																																																																																																																																																																																																																																																																																																																																																																																																																																																																																																																																																																																																																																																																																																																																																																																																																																																																																																																																																																																																																																																																																																																																																																																																																																																																																																																																																																																																																																																																																																																																																																																																																																																																																																																																																																																																																																																																																																																																																																																																																																																																																																																																																																																																																																																																																																																																																																																																																																																																																																																																																																																																																																																																																																																																																																																																																																																																																																																																																																																																																																																																																																																																																																																																																																																																																																																																																																																																																																																																																																																																																																																																																																																																																																																																																																																																																																																																																																																																																															
Kvartér										Q19										0.00-0.40 : hlína s nízkou plasticitou - ornice										P 1,90										GT3										(Si)										(F5ML)										-										POPISNÁ DATA Datum zahájení 07.09.2022 Datum ukončení 07.09.2022 Souprava Bagr-Komatsu Dokumentoval Sedlačko																																																																																																																																																																																																																																																																																																																																																																																																																																																																																																																																																																																																																																																																																																																																																																																																																																																																																																																																																																																																																																																																																																																																																																																																																																																																																																																																																																																																																																																																																																																																																																																																																																																																																																																																																																																																																																																																																																																																																																																																																																																																																																																																																																																																																																																																																																																																																																																																																																																																																																																																																																																																																																																																																																																																																																																																																																																																																																																																																																																																																																																																																																																																																																																																																																																																																																																																																																																																																																																																																																																																																																																																																																																																																																																																																																																																																																																																																																																																																																																																																																																																																																																																																																																																																																																																																																																																																																																																																																																																																																																																																																																																																																																																																																																																																																																																																																																																																																																																																																																																																																																																																																																																																																																																																																																																																																																																																																																																																																																																																																																																																																																																																																																															
										Q61										0.40-2.00 : jíl se střední plasticitou - spraš, šedohnědá až světlehnědá, pevná konzistence																				GT2										siCl										F6Cl										P																																																																																																																																																																																																																																																																																																																																																																																																																																																																																																																																																																																																																																																																																																																																																																																																																																																																																																																																																																																																																																																																																																																																																																																																																																																																																																																																																																																																																																																																																																																																																																																																																																																																																																																																																																																																																																																																																																																																																																																																																																																																																																																																																																																																																																																																																																																																																																																																																																																																																																																																																																																																																																																																																																																																																																																																																																																																																																																																																																																																																																																																																																																																																																																																																																																																																																																																																																																																																																																																																																																																																																																																																																																																																																																																																																																																																																																																																																																																																																																																																																																																																																																																																																																																																																																																																																																																																																																																																																																																																																																																																																																																																																																																																																																																																																																																																																																																																																																																																																																																																																																																																																																																																																																																																																																																																																																																																																																																																																																																																																																																																																																																																																																																									
1																																																																																																																																																																																																																																																																																																																																																																																																																																																																																																																																																																																																																																																																																																																																																																																																																																																																																																																																																																																																																																																																																																																																																																																																																																																																																																																																																																																																																																																																																																																																																																																																																																																																																																																																																																																																																																																																																																																																																																																																																																																																																																																																																																																																																																																																																																																																																																																																																																																																																																																																																																																																																																																																																																																																																																																																																																																																																																																																																																																																																																																																																																																																																																																																																																																																																																																																																																																																																																																																																																																																																																																																																																																																																																																																																																																																																																																																																																																																																																																																																																																																																																																																																																																																																																																																																																																																																																																																																																																																																																																																																																																																																																																																																																																																																																																																																																																																																																																																																																																																																																																																																																																																																																																																																																																																																																																																																																																																																																																																																																																																																																																																																																																																																																																																															

[illegible]



Odpovědný řešitel

Zpracovatel podkladů

Kreslil

Schválil

Mgr. P. Vlček

Ing. M. Polák

Objednatel:

AFRY CZ, s.r.o.

Název zakázky: RS1 VRT Prosenice – Ostrava Svinov, I část
Prosenice – Hranice na Moravě, PřGTP
Doplnění předběžného geotechnického průzkumu
v lokalitě „Philips“

Datum

září 2023

Číslo zakázky

20 7454

Měřítko

Název přílohy:

**Dokumentace sond současného průzkumu –
penetrační sondy**

Číslo přílohy

1.1.2

Číslo výtisku

GEOtest, a.s.		Interpretace penetrační sondy										Objekt SP1095																											
		0,0 Odpor na hrotu [MPa] 20,0												Souřadnice X : 1128213,41 Y : 514132,02																									
		0 Plášťové tření [] 2												Nadmořská výška : 270,09 Lokalita Pro-Hra přiGTP Mapa 1:25.000 25-123																									
Hloubka [m]				FSTA QSTA MPa		Popis polohy		G-typ	Stupeň konzistence	Ulehlost	Edef	Cu	Fu																										
1		2		3		4		5	6		7	8		9																									
1				0.1 0.80 0.1 2.47 0.2 3.64 0.3 2.87 0.2 4.05 0.3 3.66 0.2 2.58 0.1 2.98 0.1 2.69 0.1 2.49 0.1 2.49 0.1 2.40 0.1 2.51 0.1 2.41 0.1 2.90 0.1 3.49 0.1 2.21 0.1 2.33 0.2 2.52 0.1 2.72 0.1 3.21 0.1 3.40 0.2 3.61 0.2 3.42 0.2 3.03 0.1 3.12 0.1 4.11 0.2 3.53 0.2 3.43 0.2 3.33 0.2 3.33 0.1 4.02 0.2 3.44 0.2 4.13 0.2 3.64 0.2 6.39 0.2 2.66 0.2 3.07 0.2 4.44 0.2 5.03 0.2 4.64 0.1 4.64 0.1 5.14 0.0 5.04 0.0 6.51 0.0 5.83 0.0 4.85 0.0 4.66 0.0 3.68 0.2 4.47 0.2 5.06 0.2 4.86 0.2 4.58 0.2 5.46 0.2 7.52 0.2 6.35 0.2 5.27 0.4 16.27 0.2 7.24 0.2 8.13 0.2 5.77 0.2 4.69 0.2 6.18 0.2 9.71 0.2 11.67 0.2 5.78 0.2 6.57 0.2 9.72 0.2 9.13 0.2 8.74 0.2 9.62 0.2 7.56 0.2 11.99 0.2 9.83 0.4 7.97 0.2 7.58 0.2 9.83 0.2 10.24 0.2 10.93 0.2 6.90 0.2 5.04 0.2 7.10 0.2 7.70 0.2 6.62 0.2 7.01 0.4 11.23 0.2 11.33 0.2 10.86 0.2 9.88 0.2 10.86 0.2 12.13 0.1 18.71 0.0 10.97 0.0 13.52 0.2 10.57 0.2 13.91 0.2 7.14 0.4 9.80 0.5 6.86		0.00-0.80 : hlína prachovitá, pevná		GT3	1,05	-	7,8	65		POPISNÁ DATA Datum zahájení 26.08.2022 Datum ukončení 26.08.2022 Souprava PAGANI TG 63/150 Technologie TM2 Jméno operátora P. Štěpánek Dokumentoval M. Khol																									
1				0.1 0.80 0.1 2.47 0.2 3.64 0.3 2.87 0.2 4.05 0.3 3.66 0.2 2.58 0.1 2.98 0.1 2.69 0.1 2.49 0.1 2.49 0.1 2.40 0.1 2.51 0.1 2.41 0.1 2.90 0.1 3.49 0.1 2.21 0.1 2.33 0.2 2.52 0.1 2.72 0.1 3.21 0.1 3.40 0.2 3.61 0.2 3.42 0.2 3.03 0.1 3.12 0.1 4.11 0.2 3.53 0.2 3.43 0.2 3.33 0.2 3.33 0.1 4.02 0.2 3.44 0.2 4.13 0.2 3.64 0.2 6.39 0.2 2.66 0.2 3.07 0.2 4.44 0.2 5.03 0.2 4.64 0.1 4.64 0.1 5.14 0.0 5.04 0.0 6.51 0.0 5.83 0.0 4.85 0.0 4.66 0.0 3.68 0.2 4.47 0.2 5.06 0.2 4.86 0.2 4.58 0.2 5.46 0.2 7.52 0.2 6.35 0.2 5.27 0.4 16.27 0.2 7.24 0.2 8.13 0.2 5.77 0.2 4.69 0.2 6.18 0.2 9.71 0.2 11.67 0.2 5.78 0.2 6.57 0.2 9.72 0.2 9.13 0.2 8.74 0.2 9.62 0.2 7.56 0.2 11.99 0.2 9.83 0.4 7.97 0.2 7.58 0.2 9.83 0.2 10.24 0.2 10.93 0.2 6.90 0.2 5.04 0.2 7.10 0.2 7.70 0.2 6.62 0.2 7.01 0.4 11.23 0.2 11.33 0.2 10.86 0.2 9.88 0.2 10.86 0.2 12.13 0.1 18.71 0.0 10.97 0.0 13.52 0.2 10.57 0.2 13.91 0.2 7.14 0.4 9.80 0.5 6.86		0.80-1.20 : hlína písčitá, pevná		GT2	1,15	-	11,6	86		PODZEMNÍ VODA 1. naražená hladina 3.30 m Datum zjištění 26.08.2022																									
2				0.1 0.80 0.1 2.47 0.2 3.64 0.3 2.87 0.2 4.05 0.3 3.66 0.2 2.58 0.1 2.98 0.1 2.69 0.1 2.49 0.1 2.49 0.1 2.40 0.1 2.51 0.1 2.41 0.1 2.90 0.1 3.49 0.1 2.21 0.1 2.33 0.2 2.52 0.1 2.72 0.1 3.21 0.1 3.40 0.2 3.61 0.2 3.42 0.2 3.03 0.1 3.12 0.1 4.11 0.2 3.53 0.2 3.43 0.2 3.33 0.2 3.33 0.1 4.02 0.2 3.44 0.2 4.13 0.2 3.64 0.2 6.39 0.2 2.66 0.2 3.07 0.2 4.44 0.2 5.03 0.2 4.64 0.1 4.64 0.1 5.14 0.0 5.04 0.0 6.51 0.0 5.83 0.0 4.85 0.0 4.66 0.0 3.68 0.2 4.47 0.2 5.06 0.2 4.86 0.2 4.58 0.2 5.46 0.2 7.52 0.2 6.35 0.2 5.27 0.4 16.27 0.2 7.24 0.2 8.13 0.2 5.77 0.2 4.69 0.2 6.18 0.2 9.71 0.2 11.67 0.2 5.78 0.2 6.57 0.2 9.72 0.2 9.13 0.2 8.74 0.2 9.62 0.2 7.56 0.2 11.99 0.2 9.83 0.4 7.97 0.2 7.58 0.2 9.83 0.2 10.24 0.2 10.93 0.2 6.90 0.2 5.04 0.2 7.10 0.2 7.70 0.2 6.62 0.2 7.01 0.4 11.23 0.2 11.33 0.2 10.86 0.2 9.88 0.2 10.86 0.2 12.13 0.1 18.71 0.0 10.97 0.0 13.52 0.2 10.57 0.2 13.91 0.2 7.14 0.4 9.80 0.5 6.86		1.20-4.20 : hlína prachovitá, pevná		GT8	1,05	-	7,2	62	POZNÁMKA statická penetrace																										
3				0.1 0.80 0.1 2.47 0.2 3.64 0.3 2.87 0.2 4.05 0.3 3.66 0.2 2.58 0.1 2.98 0.1 2.69 0.1 2.49 0.1 2.49 0.1 2.40 0.1 2.51 0.1 2.41 0.1 2.90 0.1 3.49 0.1 2.21 0.1 2.33 0.2 2.52 0.1 2.72 0.1 3.21 0.1 3.40 0.2 3.61 0.2 3.42 0.2 3.03 0.1 3.12 0.1 4.11 0.2 3.53 0.2 3.43 0.2 3.33 0.2 3.33 0.1 4.02 0.2 3.44 0.2 4.13 0.2 3.64 0.2 6.39 0.2 2.66 0.2 3.07 0.2 4.44 0.2 5.03 0.2 4.64 0.1 4.64 0.1 5.14 0.0 5.04 0.0 6.51 0.0 5.83 0.0 4.85 0.0 4.66 0.0 3.68 0.2 4.47 0.2 5.06 0.2 4.86 0.2 4.58 0.2 5.46 0.2 7.52 0.2 6.35 0.2 5.27 0.4 16.27 0.2 7.24 0.2 8.13 0.2 5.77 0.2 4.69 0.2 6.18 0.2 9.71 0.2 11.67 0.2 5.78 0.2 6.57 0.2 9.72 0.2 9.13 0.2 8.74 0.2 9.62 0.2 7.56 0.2 11.99 0.2 9.83 0.4 7.97 0.2 7.58 0.2 9.83 0.2 10.24 0.2 10.93 0.2 6.90 0.2 5.04 0.2 7.10 0.2 7.70 0.2 6.62 0.2 7.01 0.4 11.23 0.2 11.33 0.2 10.86 0.2 9.88 0.2 10.86 0.2 12.13 0.1 18.71 0.0 10.97 0.0 13.52 0.2 10.57 0.2 13.91 0.2 7.14 0.4 9.80 0.5 6.86		4.20-7.80 : hlína prachovitá, pevná							GT9	1,15	-	9,9	75	POZNÁMKA interpretoval Mgr. P. Řezníček																					
4				0.1 0.80 0.1 2.47 0.2 3.64 0.3 2.87 0.2 4.05 0.3 3.66 0.2 2.58 0.1 2.98 0.1 2.69 0.1 2.49 0.1 2.49 0.1 2.40 0.1 2.51 0.1 2.41 0.1 2.90 0.1 3.49 0.1 2.21 0.1 2.33 0.2 2.52 0.1 2.72 0.1 3.21 0.1 3.40 0.2 3.61 0.2 3.42 0.2 3.03 0.1 3.12 0.1 4.11 0.2 3.53 0.2 3.43 0.2 3.33 0.2 3.33 0.1 4.02 0.2 3.44 0.2 4.13 0.2 3.64 0.2 6.39 0.2 2.66 0.2 3.07 0.2 4.44 0.2 5.03 0.2 4.64 0.1 4.64 0.1 5.14 0.0 5.04 0.0 6.51 0.0 5.83 0.0 4.85 0.0 4.66 0.0 3.68 0.2 4.47 0.2 5.06 0.2 4.86 0.2 4.58 0.2 5.46 0.2 7.52 0.2 6.35 0.2 5.27 0.4 16.27 0.2 7.24 0.2 8.13 0.2 5.77 0.2 4.69 0.2 6.18 0.2 9.71 0.2 11.67 0.2 5.78 0.2 6.57 0.2 9.72 0.2 9.13 0.2 8.74 0.2 9.62 0.2 7.56 0.2 11.99 0.2 9.83 0.4 7.97 0.2 7.58 0.2 9.83 0.2 10.24 0.2 10.93 0.2 6.90 0.2 5.04 0.2 7.10 0.2 7.70 0.2 6.62 0.2 7.01 0.4 11.23 0.2 11.33 0.2 10.86 0.2 9.88 0.2 10.86 0.2 12.13 0.1 18.71 0.0 10.97 0.0 13.52 0.2 10.57 0.2 13.91 0.2 7.14 0.4 9.80 0.5 6.86		7.80-12.80 : jíl prachovitý, pevný, lokálně polohy s příměsí pisku												GT9	1,2	-	13,6	96																	
5				0.1 0.80 0.1 2.47 0.2 3.64 0.3 2.87 0.2 4.05 0.3 3.66 0.2 2.58 0.1 2.98 0.1 2.69 0.1 2.49 0.1 2.49 0.1 2.40 0.1 2.51 0.1 2.41 0.1 2.90 0.1 3.49 0.1 2.21 0.1 2.33 0.2 2.52 0.1 2.72 0.1 3.21 0.1 3.40 0.2 3.61 0.2 3.42 0.2 3.03 0.1 3.12 0.1 4.11 0.2 3.53 0.2 3.43 0.2 3.33 0.2 3.33 0.1 4.02 0.2 3.44 0.2 4.13 0.2 3.64 0.2 6.39 0.2 2.66 0.2 3.07 0.2 4.44 0.2 5.03 0.2 4.64 0.1 4.64 0.1 5.14 0.0 5.04 0.0 6.51 0.0 5.83 0.0 4.85 0.0 4.66 0.0 3.68 0.2 4.47 0.2 5.06 0.2 4.86 0.2 4.58 0.2 5.46 0.2 7.52 0.2 6.35 0.2 5.27 0.4 16.27 0.2 7.24 0.2 8.13 0.2 5.77 0.2 4.69 0.2 6.18 0.2 9.71 0.2 11.67 0.2 5.78 0.2 6.57 0.2 9.72 0.2 9.13 0.2 8.74 0.2 9.62 0.2 7.56 0.2 11.99 0.2 9.83 0.4 7.97 0.2 7.58 0.2 9.83 0.2 10.24 0.2 10.93 0.2 6.90 0.2 5.04 0.2 7.10 0.2 7.70 0.2 6.62 0.2 7.01 0.4 11.23 0.2 11.33 0.2 10.86 0.2 9.88 0.2 10.86 0.2 12.13 0.1 18.71 0.0 10.97 0.0 13.52 0.2 10.57 0.2 13.91 0.2 7.14 0.4 9.80 0.5 6.86		12.80-16.00 : jíl prachovitý, pevný																	GT9	1,25	-	27,8	145												
6				0.1 0.80 0.1 2.47 0.2 3.64 0.3 2.87 0.2 4.05 0.3 3.66 0.2 2.58 0.1 2.98 0.1 2.69 0.1 2.49 0.1 2.49 0.1 2.40 0.1 2.51 0.1 2.41 0.1 2.90 0.1 3.49 0.1 2.21 0.1 2.33 0.2 2.52 0.1 2.72 0.1 3.21 0.1 3.40 0.2 3.61 0.2 3.42 0.2 3.03 0.1 3.12 0.1 4.11 0.2 3.53 0.2 3.43 0.2 3.33 0.2 3.33 0.1 4.02 0.2 3.44 0.2 4.13 0.2 3.64 0.2 6.39 0.2 2.66 0.2 3.07 0.2 4.44 0.2 5.03 0.2 4.64 0.1 4.64 0.1 5.14 0.0 5.04 0.0 6.51 0.0 5.83 0.0 4.85 0.0 4.66 0.0 3.68 0.2 4.47 0.2 5.06 0.2 4.86 0.2 4.58 0.2 5.46 0.2 7.52 0.2 6.35 0.2 5.27 0.4 16.27 0.2 7.24 0.2 8.13 0.2 5.77 0.2 4.69 0.2 6.18 0.2 9.71 0.2 11.67 0.2 5.78 0.2 6.57 0.2 9.72 0.2 9.13 0.2 8.74 0.2 9.62 0.2 7.56 0.2 11.99 0.2 9.83 0.4 7.97 0.2 7.58 0.2 9.83 0.2 10.24 0.2 10.93 0.2 6.90 0.2 5.04 0.2 7.10 0.2 7.70 0.2 6.62 0.2 7.01 0.4 11.23 0.2 11.33 0.2 10.86 0.2 9.88 0.2 10.86 0.2 12.13 0.1 18.71 0.0 10.97 0.0 13.52 0.2 10.57 0.2 13.91 0.2 7.14 0.4 9.80 0.5 6.86		16.00-17.20 : jíl s písčitou příměsí, pevný																						GT9	1,25	-	19,9	123							
7				0.1 0.80 0.1 2.47 0.2 3.64 0.3 2.87 0.2 4.05 0.3 3.66 0.2 2.58 0.1 2.98 0.1 2.69 0.1 2.49 0.1 2.49 0.1 2.40 0.1 2.51 0.1 2.41 0.1 2.90 0.1 3.49 0.1 2.21 0.1 2.33 0.2 2.52 0.1 2.72 0.1 3.21 0.1 3.40 0.2 3.61 0.2 3.42 0.2 3.03 0.1 3.12 0.1 4.11 0.2 3.53 0.2 3.43 0.2 3.33 0.2 3.33 0.1 4.02 0.2 3.44 0.2 4.13 0.2 3.64 0.2 6.39 0.2 2.66 0.2 3.07 0.2 4.44 0.2 5.03 0.2 4.64 0.1 4.64 0.1 5.14 0.0 5.04 0.0 6.51 0.0 5.83 0.0 4.85 0.0 4.66 0.0 3.68 0.2 4.47 0.2 5.06 0.2 4.86 0.2 4.58 0.2 5.46 0.2 7.52 0.2 6.35 0.2 5.27 0.4 16.27 0.2 7.24 0.2 8.13 0.2 5.77 0.2 4.69 0.2 6.18 0.2 9.71 0.2 11.67 0.2 5.78 0.2 6.57 0.2 9.72 0.2 9.13 0.2 8.74 0.2 9.62 0.2 7.56 0.2 11.99 0.2 9.83 0.4 7.97 0.2 7.58 0.2 9.83 0.2 10.24 0.2 10.93 0.2 6.90 0.2 5.04 0.2 7.10 0.2 7.70 0.2 6.62 0.2 7.01 0.4 11.23 0.2 11.33 0.2 10.86 0.2 9.88 0.2 10.86 0.2 12.13 0.1 18.71 0.0 10.97 0.0 13.52 0.2 10.57 0.2 13.91 0.2 7.14 0.4 9.80 0.5 6.86		17.20-19.40 : jíl prachovitý, pevný až tvrdý																											GT9	1,3	-	32,5	155		
8				0.1 0.80 0.1 2.47 0.2 3.64 0.3 2.87 0.2 4.05 0.3 3.66 0.2 2.58 0.1 2.98 0.1 2.69 0.1 2.49 0.1 2.49 0.1 2.40 0.1 2.51 0.1 2.41 0.1 2.90 0.1 3.49 0.1 2.21 0.1 2.33 0.2 2.52 0.1 2.72 0.1 3.21 0.1 3.40 0.2 3.61 0.2 3.42 0.2 3.03 0.1 3.12 0.1 4.11 0.2 3.53 0.2 3.43 0.2 3.33 0.2 3.33 0.1 4.02 0.2 3.44 0.2 4.13 0.2 3.64 0.2 6.39 0.2 2.66 0.2 3.07 0.2 4.44 0.2 5.03 0.2 4.64 0.1 4.64 0.1 5.14 0.0 5.04 0.0 6.51 0.0 5.83 0.0 4.85 0.0 4.66 0.0 3.68 0.2 4.47 0.2 5.06 0.2 4.86 0.2 4.58 0.2 5.46 0.2 7.52 0.2 6.35 0.2 5.27 0.4 16.27 0.2 7.24 0.2 8.13 0.2 5.77 0.2 4.69 0.2 6.18 0.2 9.71 0.2 11.67 0.2 5.78 0.2 6.57 0.2 9.72 0.2 9.13 0.2 8.74 0.2 9.62 0.2 7.56 0.2 11.99 0.2 9.83 0.4 7.97 0.2 7.58 0.2 9.83 0.2 10.24 0.2 10.93 0.2 6.90 0.2 5.04 0.2 7.10 0.2 7.70 0.2 6.62 0.2 7.01 0.4 11.23 0.2 11.33 0.2 10.86 0.2 9.88 0.2 10.86 0.2 12.13 0.1 18.71 0.0																																			

GEOtest, a.s.		Interpretace penetrační sondy										Objekt SP1098	
												Souřadnice X : 1127915,38 Y : 513504,17	
												Nadmořská výška : 277,97	
												Lokalita Pro-Hra přGTP	
												Mapa 1:25.000 25-123	

GEOtest, a.s.				Interpretace penetrační sondy								Objekt SP1100			
								Souřadnice X : 1127810,15 Y : 513309,97							
								Nadmořská výška : 265,87							
								Lokalita Pro-Hra přiGTP							
								Mapa 1:25.000 25-123							

GEOtest, a.s.				Interpretace penetrační sondy								Objekt SP1103			
								Souřadnice X : 1127642,46 Y : 513046,10							
								Nadmořská výška : 275,35							
								Lokalita Pro-Hra přiGTP							
								Mapa 1:25.000 25-123							



Odpovědný řešitel
Mgr. P. Vlček

Zpracovatel podkladů

Kreslil

Schválil
Ing. M. Polák

Objednatel:

AFRY CZ, s.r.o.

Název zakázky: RS1 VRT Prosenice – Ostrava Svinov, I část
Prosenice – Hranice na Moravě, PřGTP
Doplnění předběžného geotechnického průzkumu
v lokalitě „Philips“

Datum

září 2023

Číslo zakázky

20 7454

Měřítko

Název přílohy:

Dokumentace sond archivních průzkumů

Číslo přílohy

1.1.3

Číslo výtisku



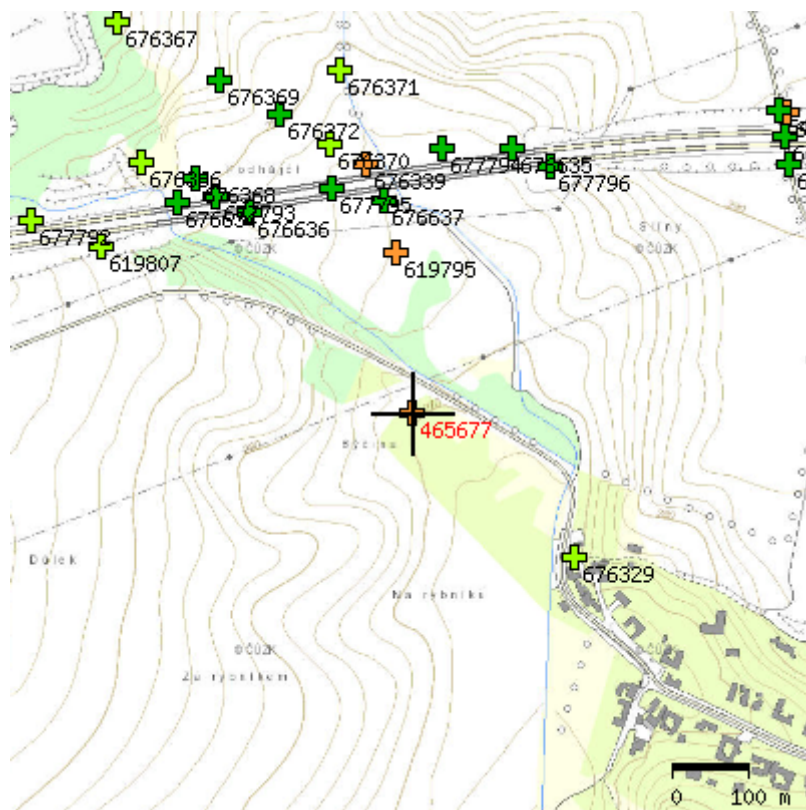
VRT - ZÁKLADNÍ INFORMACE



Stát	Česká republika	Nadmořská výška - souřadnice Z	271.00
Jazyk	česky	Inklinometrie (Y/N)	Y
Název databáze	GDO	Účel	inženýrskogeologický
ID	465677	Hydrogeologické údaje (Y/N)	N
Původní název	J-57	Hloubka hladiny podzemní vody [m]	1
Zkrácený název	J-57	Druh hladiny podzemní vody	(ověřováno)
Rok vzniku objektu	1969	Karotáž (Y/N)	N
Poskytovatel dat	Česká geologická služba	Provedené zkoušky	geotechnické rozbor
Hloubka vrtu (m)	8	Hmotná dokumentace (Y/N)	N
Primární dokumentace	GF P022073	Druh objektu	vrt svislý
Souřadnice X - JTSK [m]	1127000.00	Geologický profil (Y/N)	Y
Souřadnice Y - JTSK [m]	514400.00	Organizace provádějící	Geologický průzkum Ostrava, n.p.
Způsob zaměření X,Y	digitalizováno z mapy 1:25000	Organizace bloku	
Výškový systém	nezaměřeno (odečteno z mapy)	Blokováno do	

ZÁKLADNÍ LITOLOGICKÁ DATA

Hloubka[m]	Stratigrafie	Popis
0.00 - 0.20	Kvartér	ornice , šedá, hnědá
0.20 - 0.70	Kvartér	hlína měkký náplavový, hnědá příměs: valouny
0.70 - 3.80	Kvartér	štěrk částice řádově centimetrové zvodnělý písek hlinitý, hnědá
3.80 - 8.00	Miocén	hlína jílovitý písčitý vápnitý tuhý měkký, šedá

LOKALIZACE V MAPĚ



GEOtest, a.s.					Objekt V-43	
Geologická dokumentace archivních sond					Souřadnice X : 1128563,28 Y : 514065,34 Nadmořská výška : 262,83 Lokalita ProHra Mapa 1:25.000 25-123	
Hloubka [m]	Stratigrafie	Geologický profil	Popis polohy		Hladiny vody	
1	2	3	4	5	6	
1		Q14	0.00-3.00 : hlína prachovitá, shora 0,5 m humózní, tmavě hnědá, od 0,5 m níže středně hnědá, nevýrazně světle hnědě laminovaná a rezavě smouhovaná, do hloubky 1 pevná, níže tuhá, nevápnitá	 2,40	PODZEMNÍ VODA 1. naražená hladina 2.40 m Ustálená hladina 5.50 m Datum zjištění 20.6.1996	
2			3.00-4.00 : hlína prachovitá, světle hnědošedá, výrazně rezavě laminovaná (lamoiny až shluky), šedě smouhovaná, hojné organické zbytky, tuhá až měkká, na bázi 30 cm měkká			
3		Q12	4.00-5.40 : hlína písčitojilovitá, na bázi 30 cm jílovitá, shora výrazně laminovaná, níže světle hnědošedá, výrazně černě, rezavě, hnědě a šedě laminovaná, od hloubky 4,8 m s hojnými, dokonale opracovanými valouny vel 1-3 cm, tuhá-pevná	 5,50		
4			5.40-7.00 : štěrk písčitý, rezavě hnědý, místy hlinitopísčitý, střední, opracované valouny, netříděný			
5		Q31	7.00-8.00 : hlína jílovitá, shora 20 cm intenzivně zvětralá - rezavě a slabě šedě smouhovaná se žlutohnědými písčitými laminami, nevápnitá, s náznaky odlučnosti, do 7,2 m tmavě šedé, slabě rezavě zvětrávající jílovitá hlína, odlučná, vápnitá, pevná, od 7,2 m pevná -tvrdá, s ojedinělými úlomky kulmských hornin, miocén			
6		N14				
7						
8						
9						
10						
11						
12						
13						
14						
15						
16						
17						
18						
19						
20						
21						
22						
23						
24						
					Měřítko : 1 : 100 ID_OBJ : 143 Projekt : 20 7454 Zpracoval : Mgr. P. Vlček Datum : 29.9.2022 Příloha :	



Odpovědný řešitel
Mgr. P. Vlček

Zpracovatel podkladů

Kreslil

Schválil
Ing. M. Polák

Objednatel:

AFRY CZ, s.r.o.

Název zakázky: RS1 VRT Prosenice – Ostrava Svinov, I část
Prosenice – Hranice na Moravě, PřGTP
Doplnění předběžného geotechnického průzkumu
v lokalitě „Philips“

Datum	září 2023
Číslo zakázky	20 7454
Měřítko	

Název přílohy: **Fotodokumentace sond současného průzkumu**

Číslo přílohy	1.1.4
Číslo výtisku	

FOTODOKUMENTACE VRTNÉHO JÁDRA

RS 1 VRT Prosenice – Ostrava-Svinov,
I. Část, Prosenice – Hranice ne Moravě

JV-1092

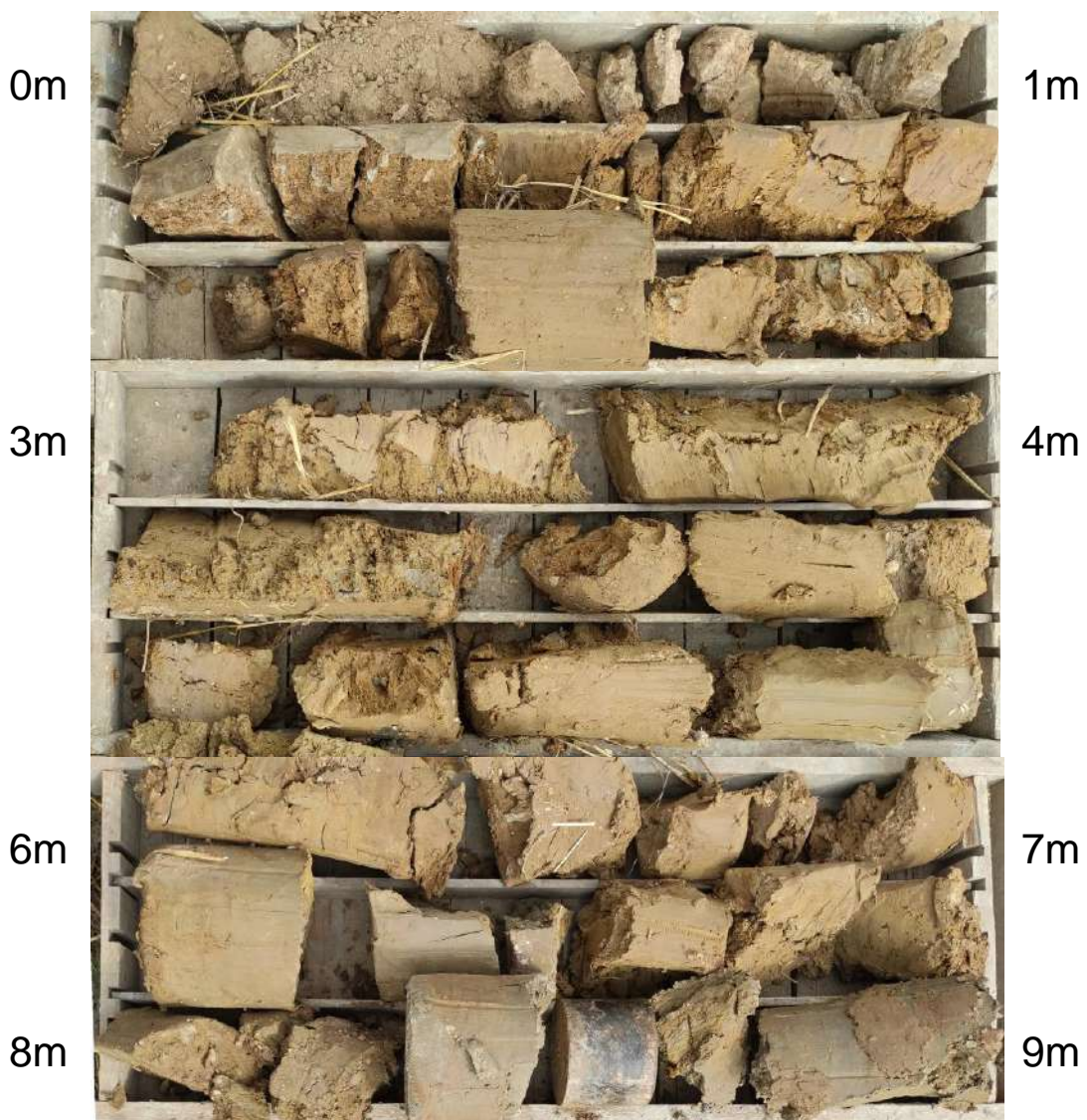


FOTODOKUMENTACE VRTNÉHO JÁDRA

RS 1 VRT Prosenice – Ostrava-Svinov,
I. Část, Prosenice – Hranice ne Moravě

JV-1094

1/2

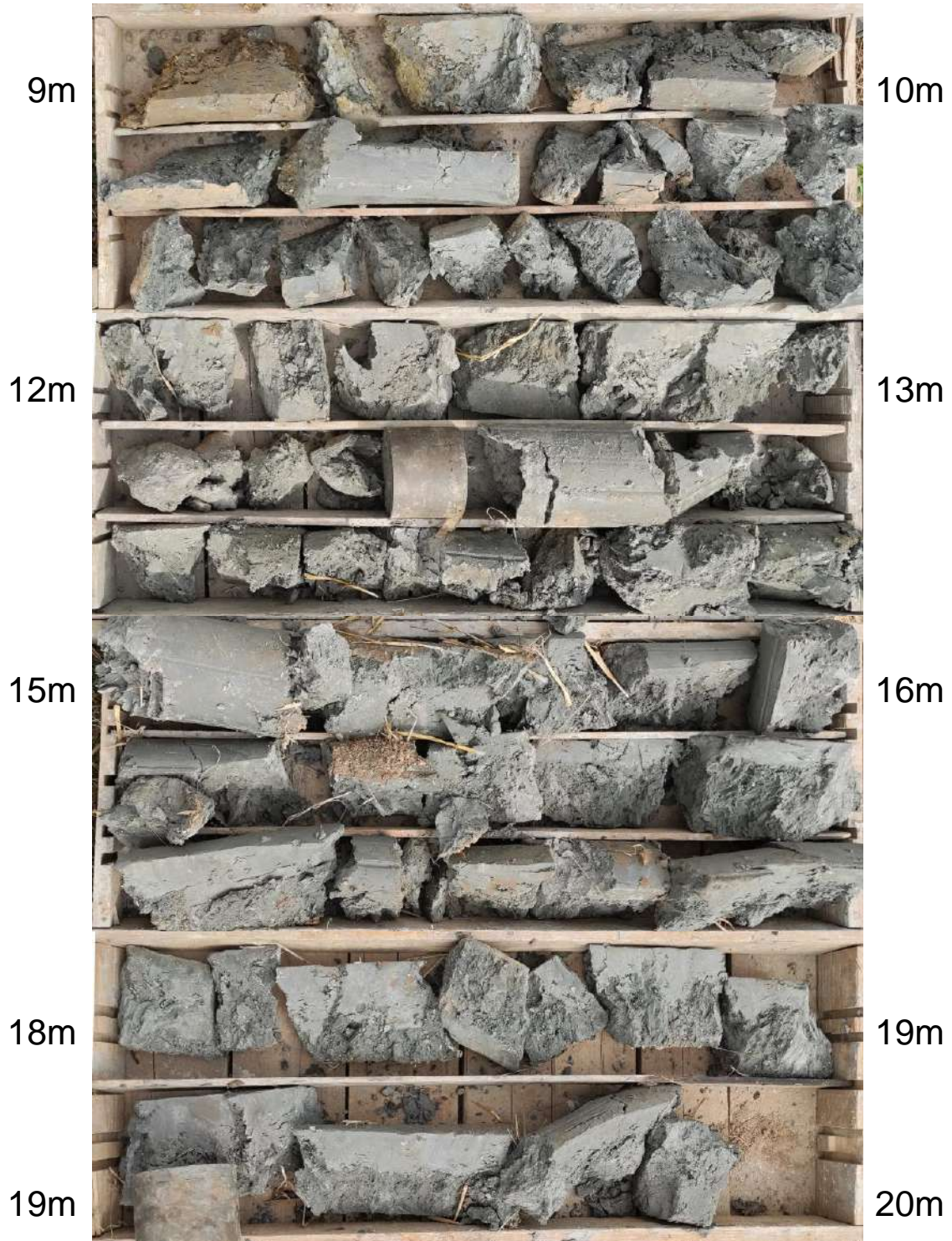


FOTODOKUMENTACE VRTNÉHO JÁDRA

RS 1 VRT Prosenice – Ostrava-Svinov,
I. Část, Prosenice – Hranice ne Moravě

JV-1094

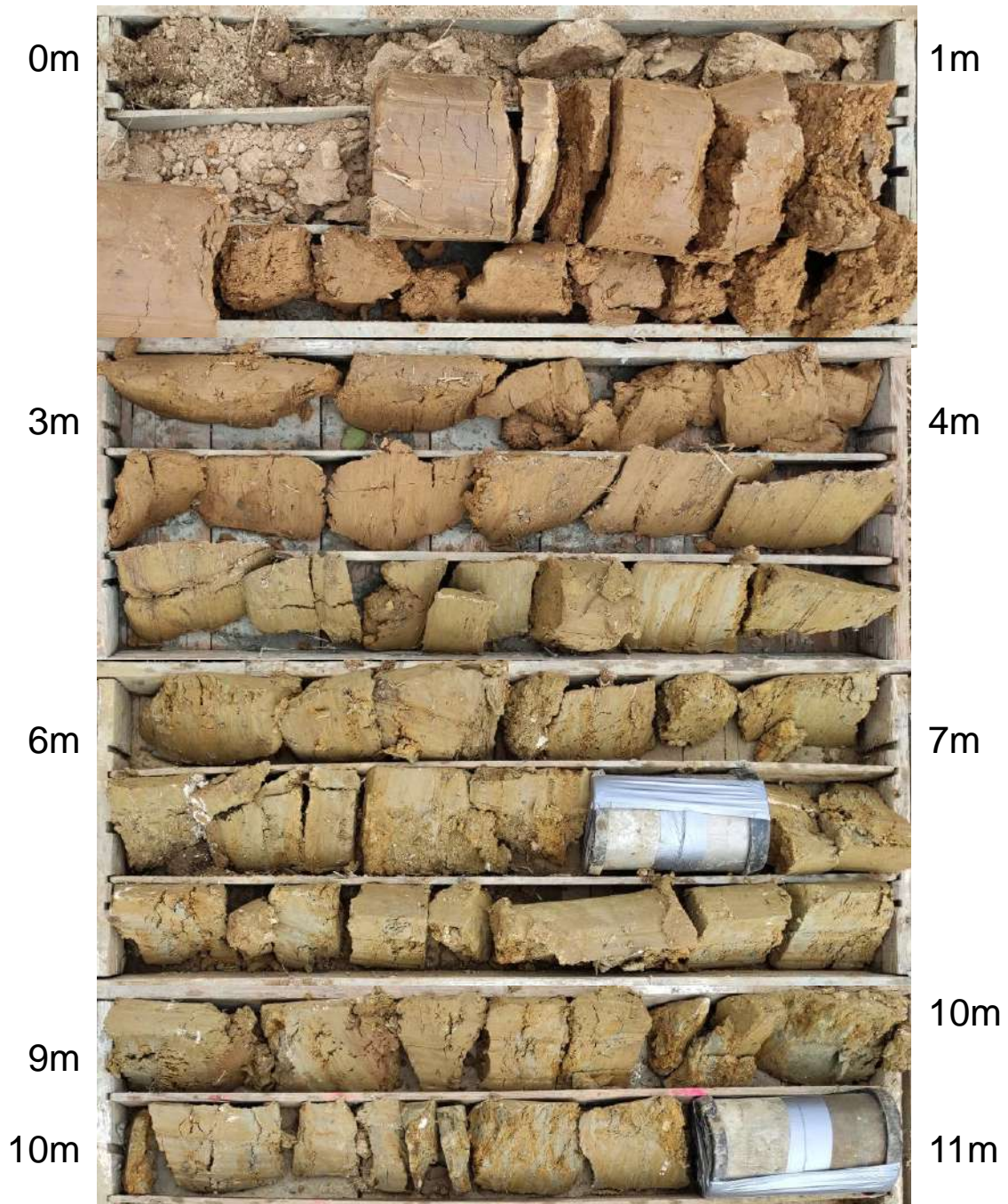
2/2



FOTODOKUMENTACE VRTNÉHO JÁDRA

RS 1 VRT Prosenice – Ostrava-Svinov,
I. Část, Prosenice – Hranice ne Moravě

JV-1096

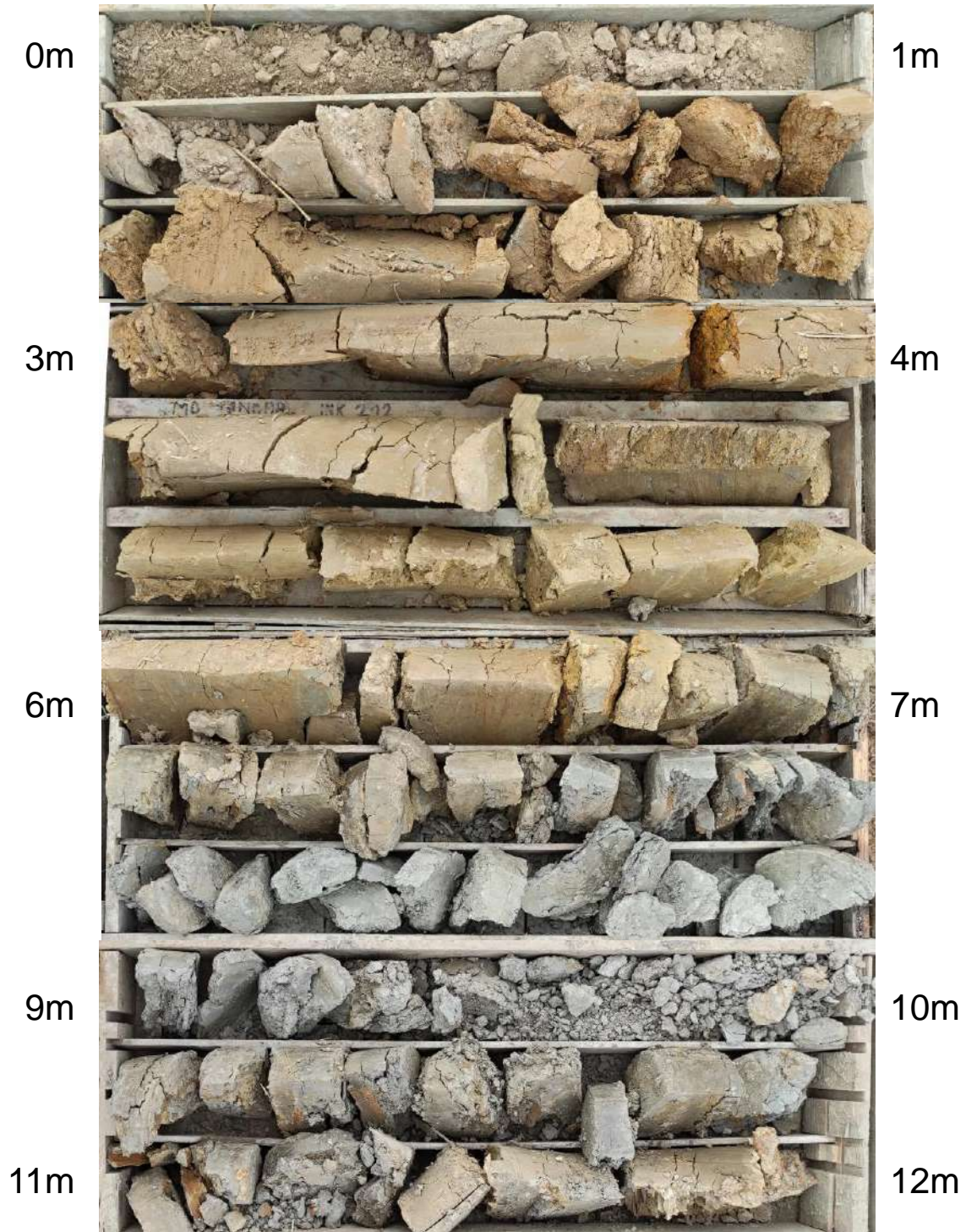


FOTODOKUMENTACE VRTNÉHO JÁDRA

RS 1 VRT Prosenice – Ostrava-Svinov,
I. Část, Prosenice – Hranice ne Moravě

JV-1097

1/3

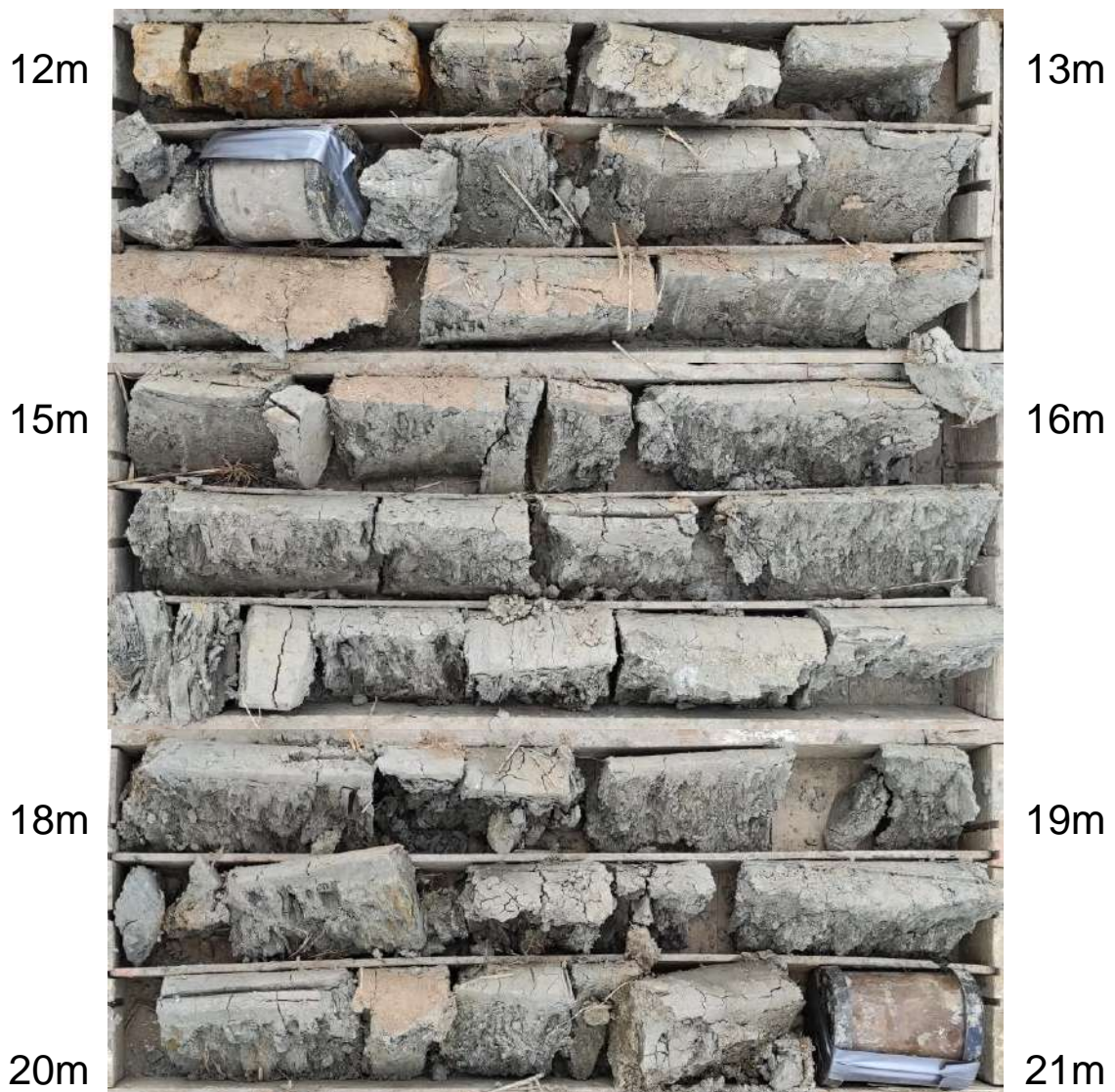


FOTODOKUMENTACE VRTNÉHO JÁDRA

RS 1 VRT Prosenice – Ostrava-Svinov,
I. Část, Prosenice – Hranice ne Moravě

JV-1097

2/3

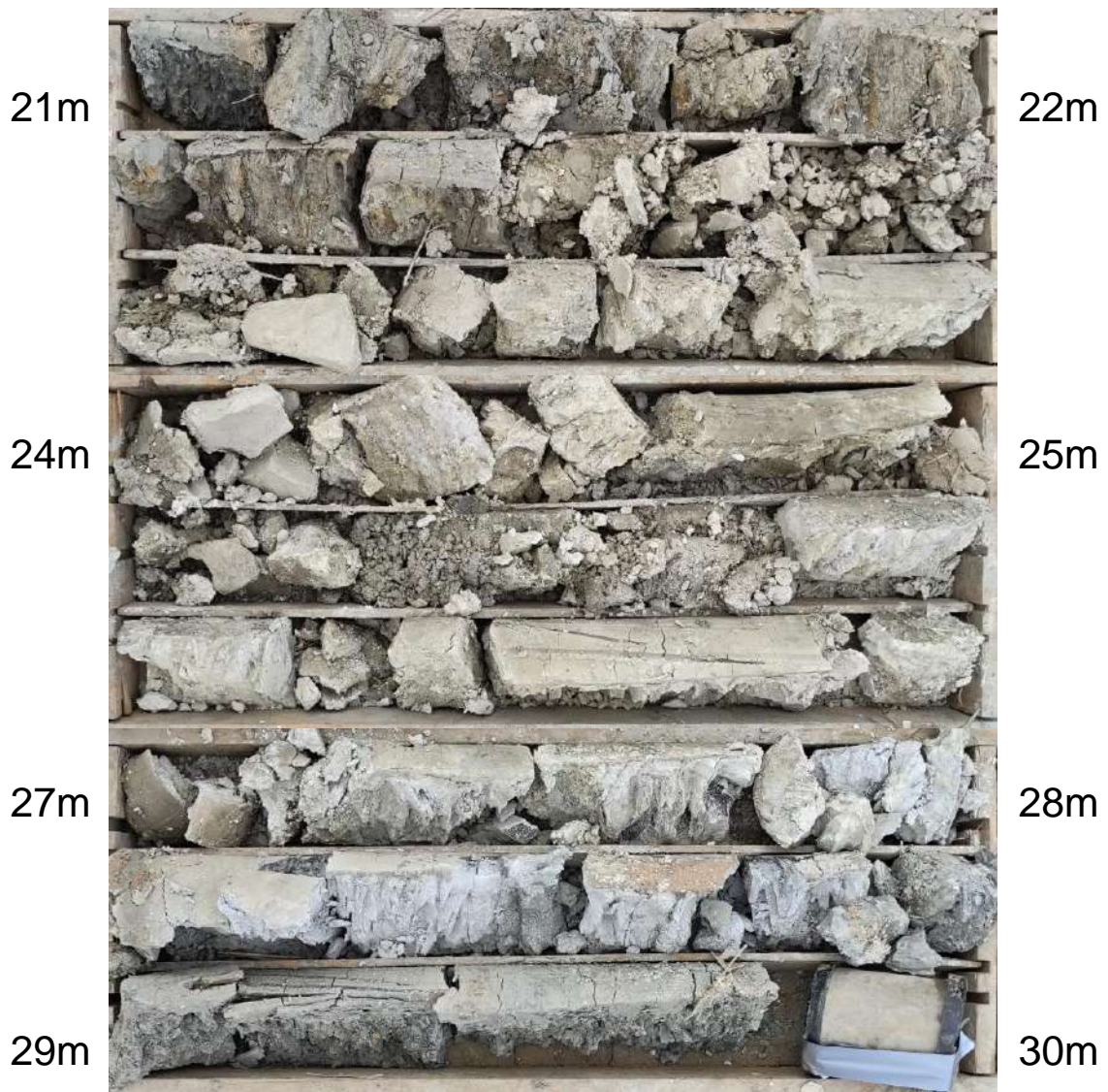


FOTODOKUMENTACE VRTNÉHO JÁDRA

RS 1 VRT Prosenice – Ostrava-Svinov,
I. Část, Prosenice – Hranice ne Moravě

JV-1097

3/3

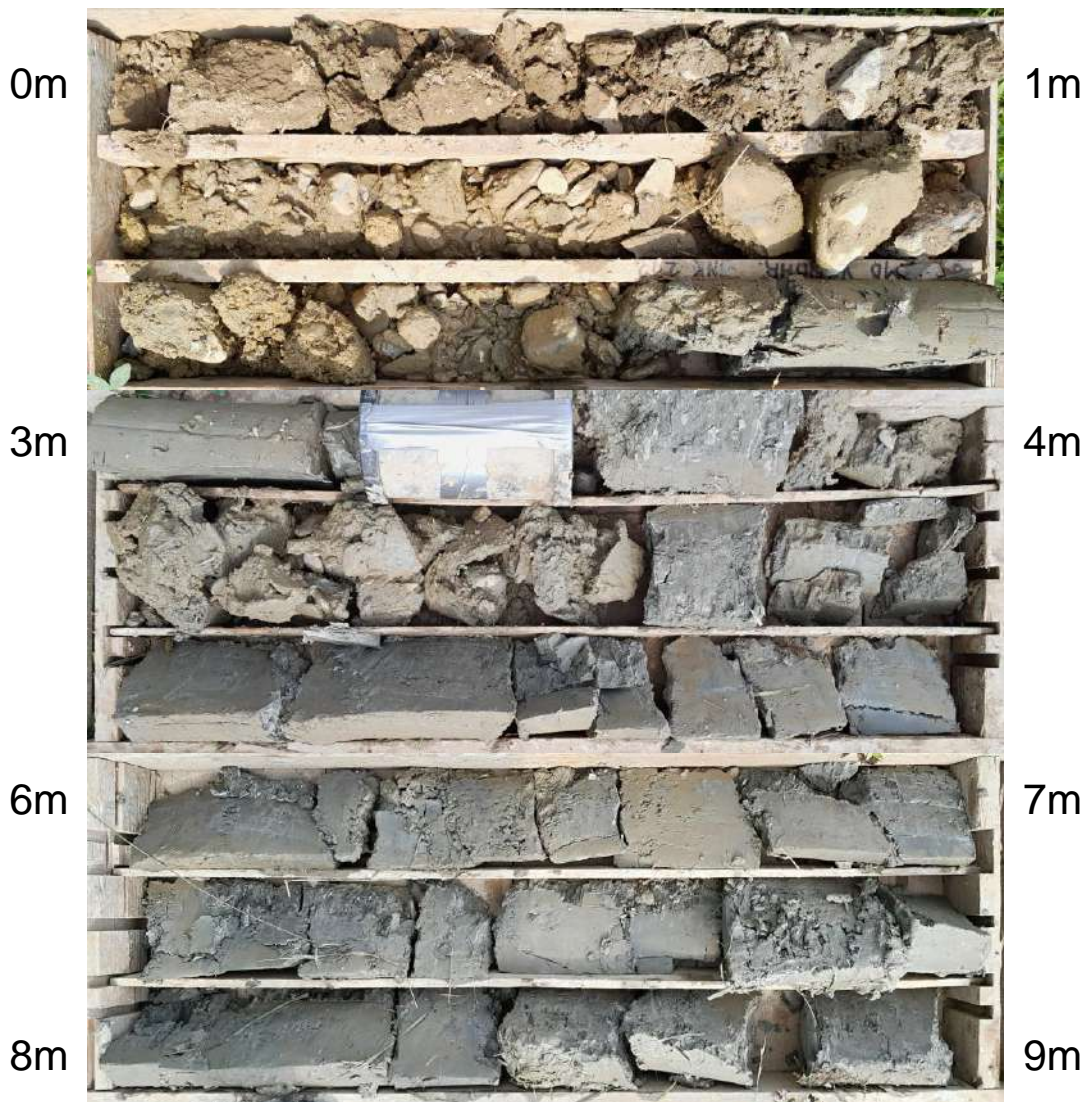


FOTODOKUMENTACE VRTNÉHO JÁDRA

RS 1 VRT Prosenice – Ostrava-Svinov,
I. Část, Prosenice – Hranice ne Moravě

JV-1099

1/3

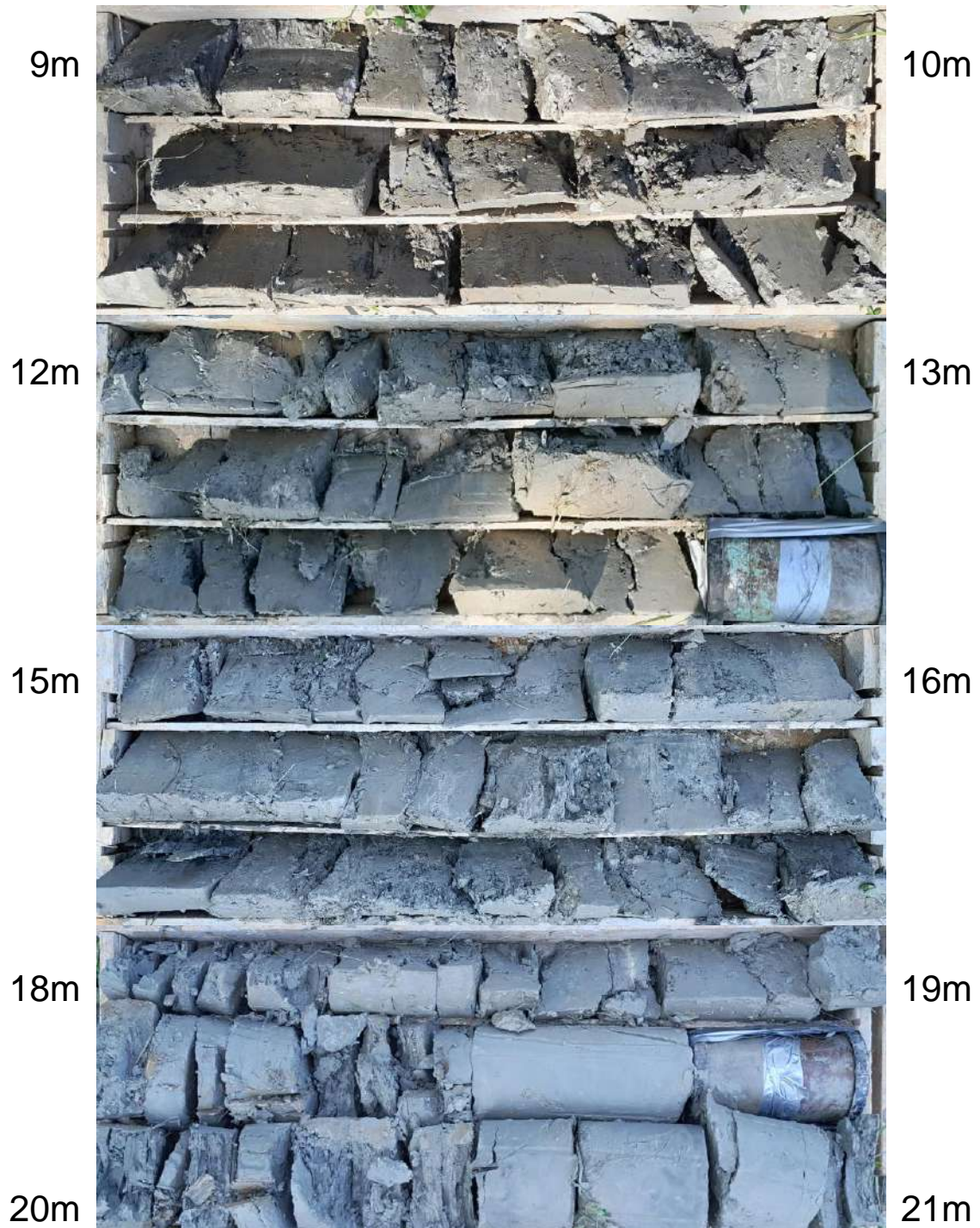


FOTODOKUMENTACE VRTNÉHO JÁDRA

RS 1 VRT Prosenice – Ostrava-Svinov,
I. Část, Prosenice – Hranice ne Moravě

JV-1099

2/3

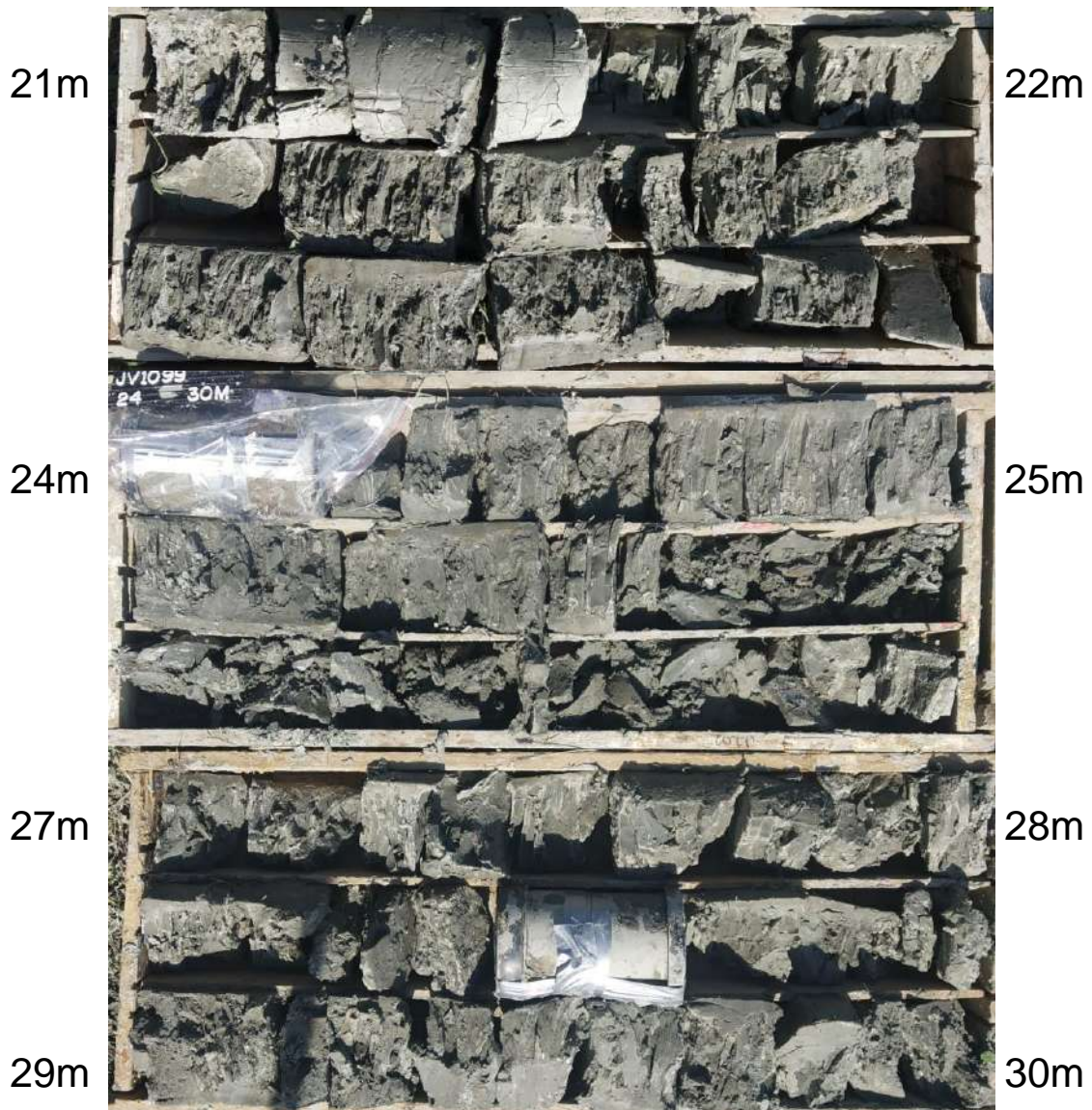


FOTODOKUMENTACE VRTNÉHO JÁDRA

RS 1 VRT Prosenice – Ostrava-Svinov,
I. Část, Prosenice – Hranice ne Moravě

JV-1099

3/3

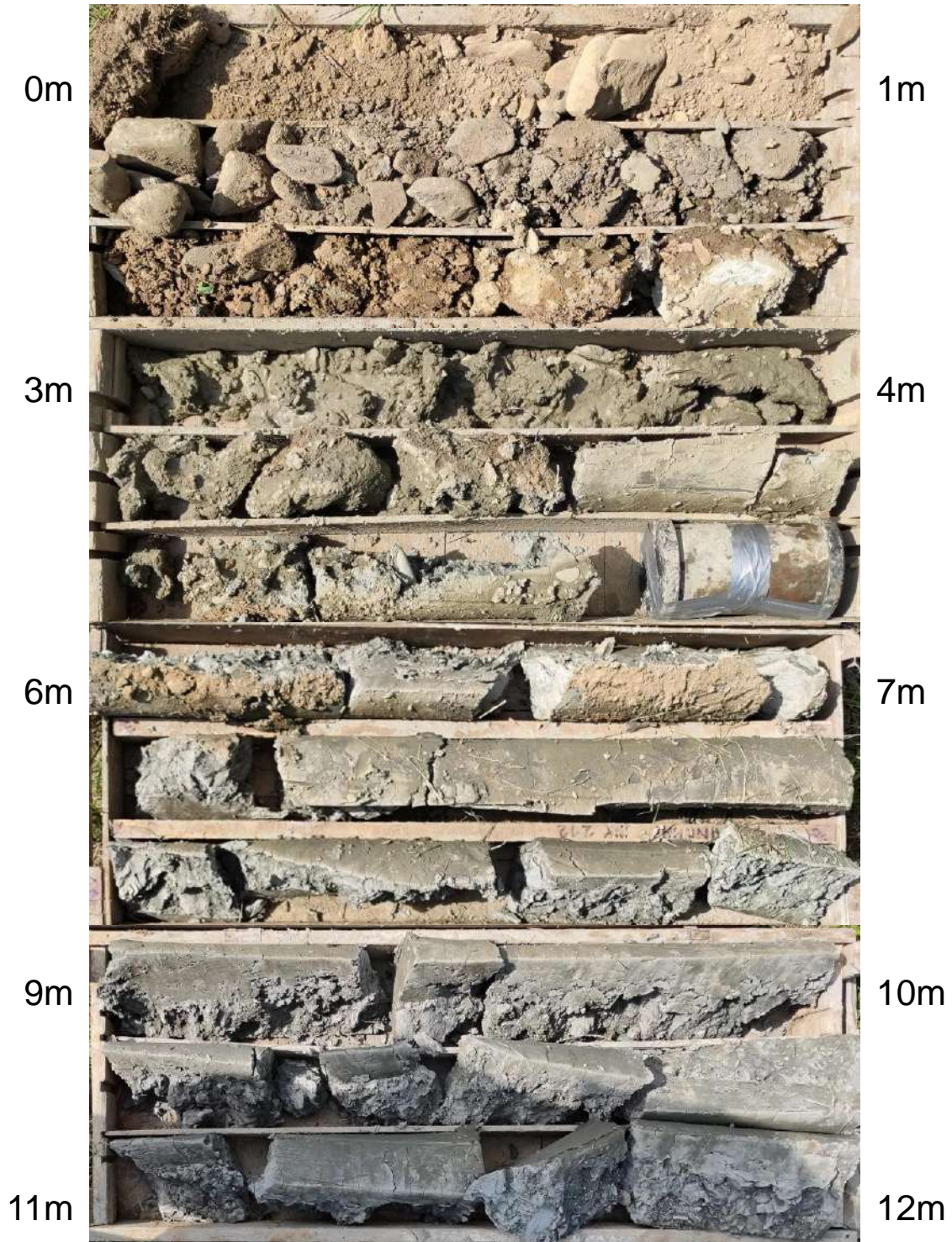


FOTODOKUMENTACE VRTNÉHO JÁDRA

RS 1 VRT Prosenice – Ostrava-Svinov,
I. Část, Prosenice – Hranice ne Moravě

JV-1101

1/3

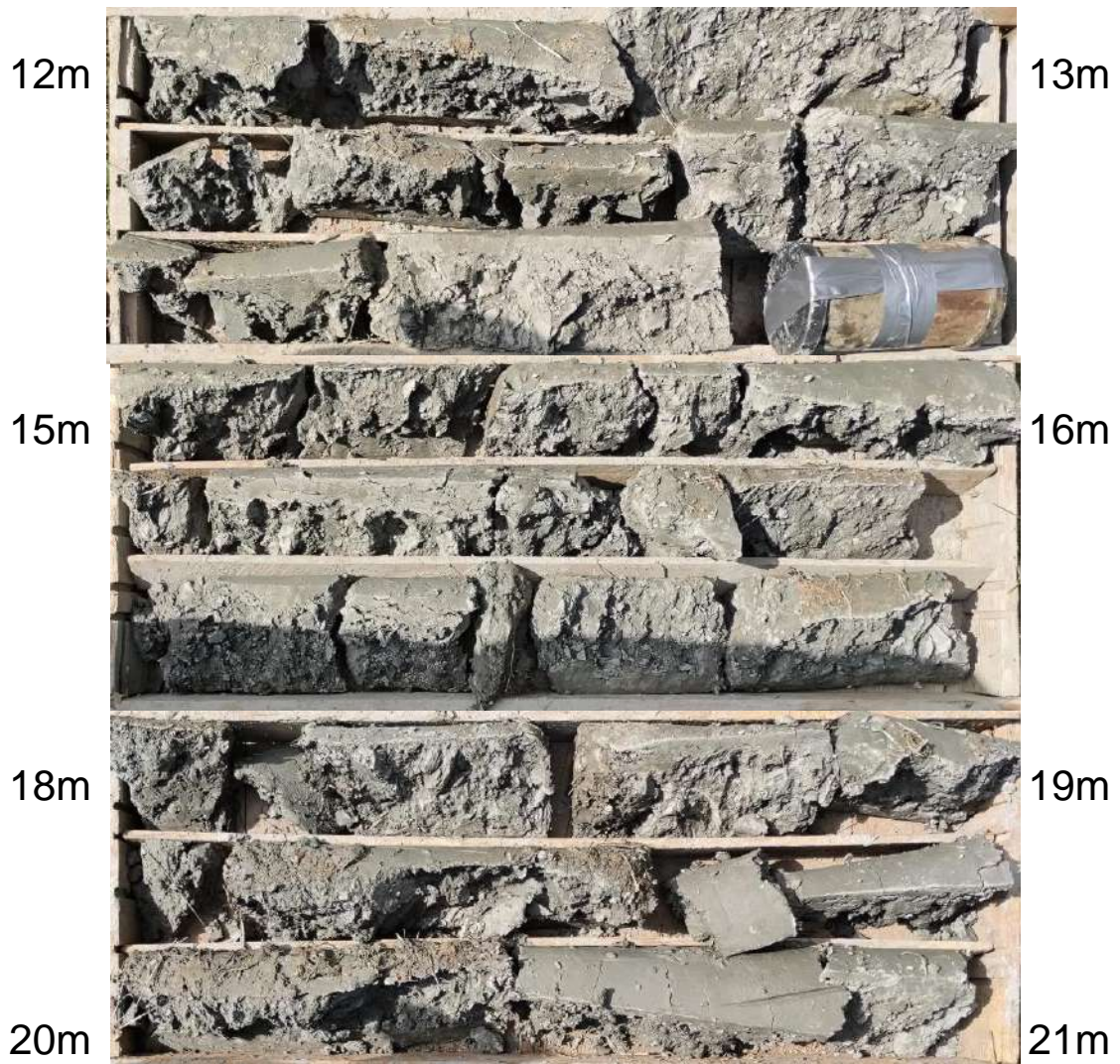


FOTODOKUMENTACE VRTNÉHO JÁDRA

RS 1 VRT Prosenice – Ostrava-Svinov,
I. Část, Prosenice – Hranice ne Moravě

JV-1101

2/3

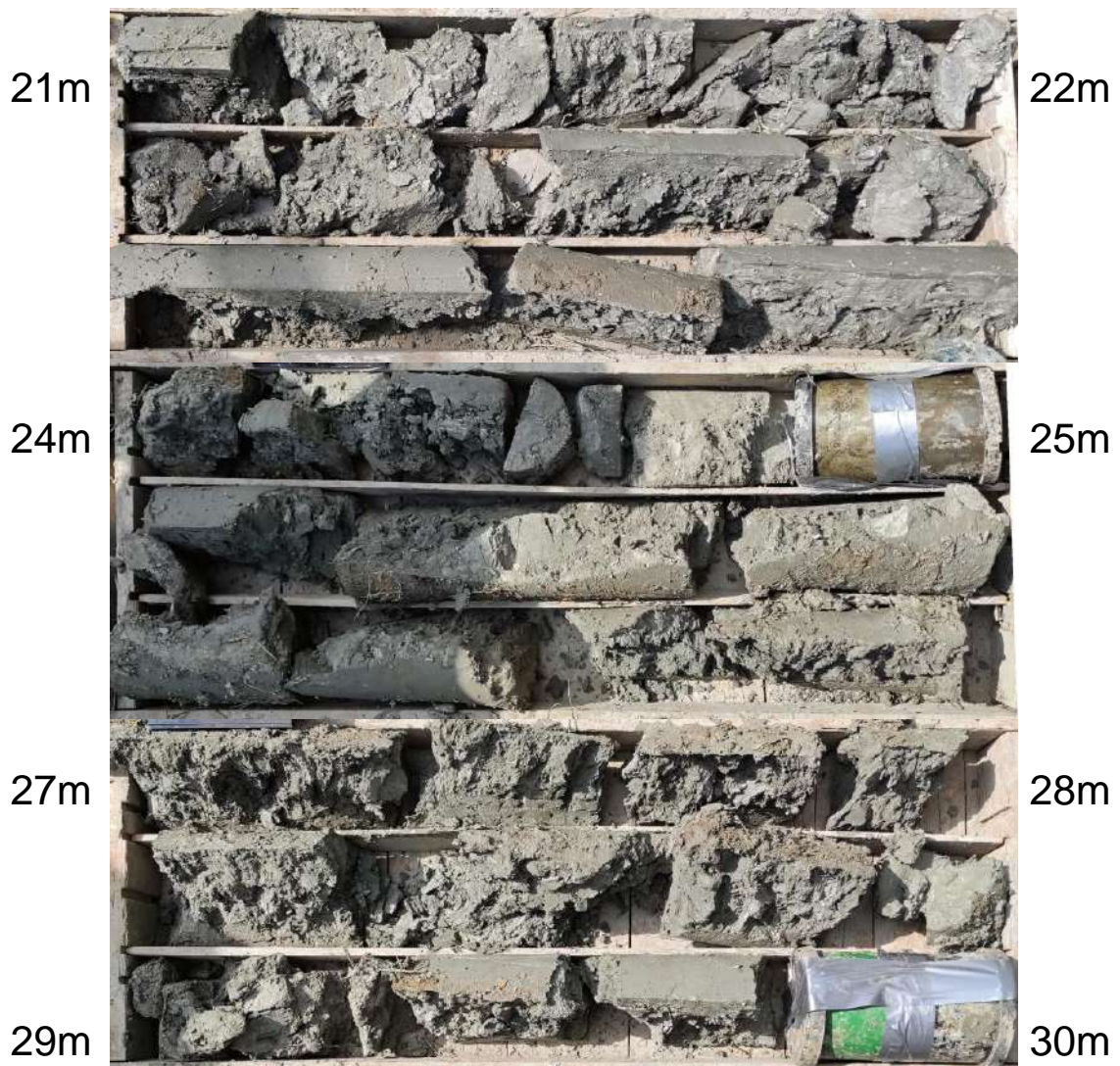


FOTODOKUMENTACE VRTNÉHO JÁDRA

RS 1 VRT Prosenice – Ostrava-Svinov,
I. Část, Prosenice – Hranice ne Moravě

JV-1101

3/3

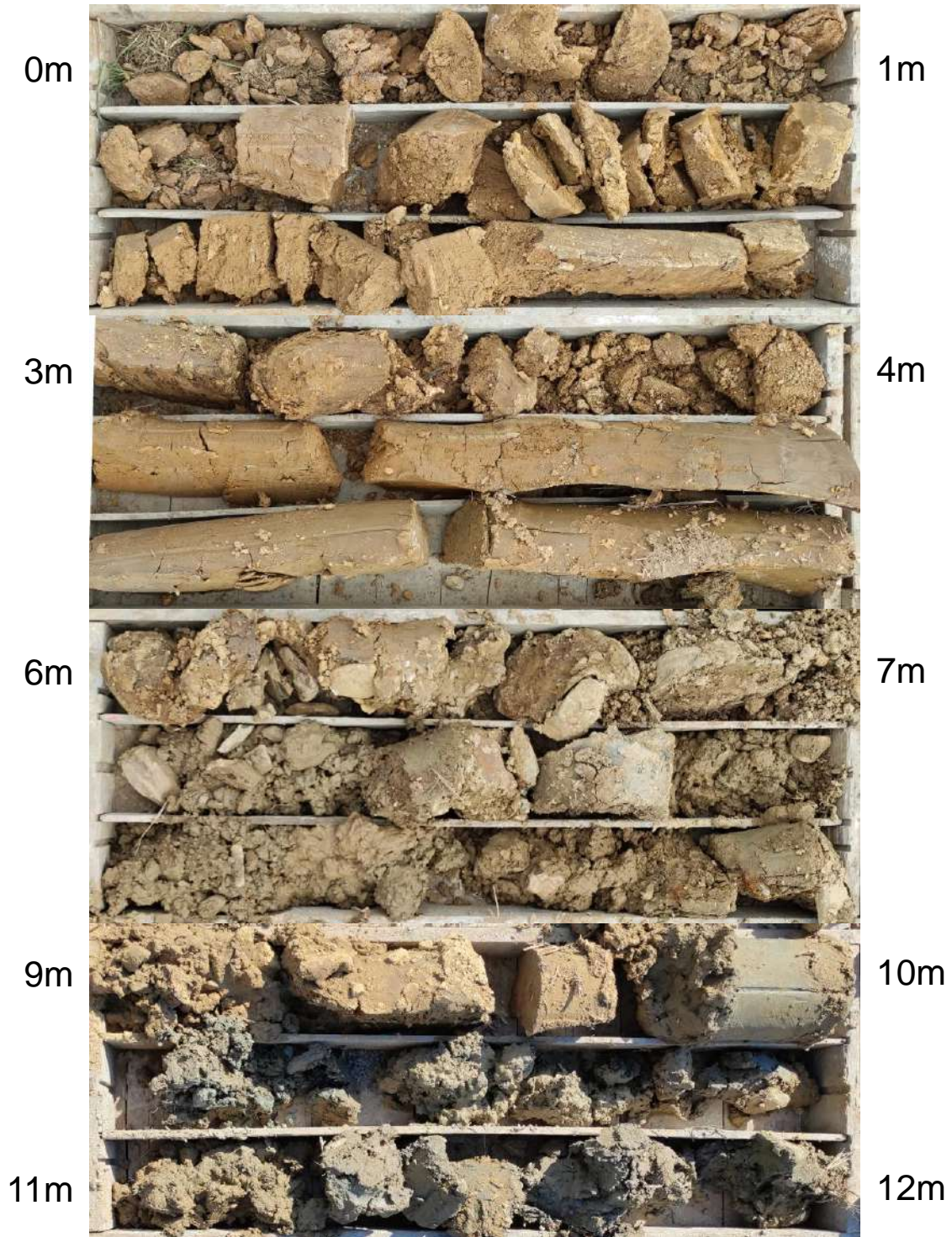


FOTODOKUMENTACE VRTNÉHO JÁDRA

RS 1 VRT Prosenice – Ostrava-Svinov,
I. Část, Prosenice – Hranice ne Moravě

JV-1104

1/2

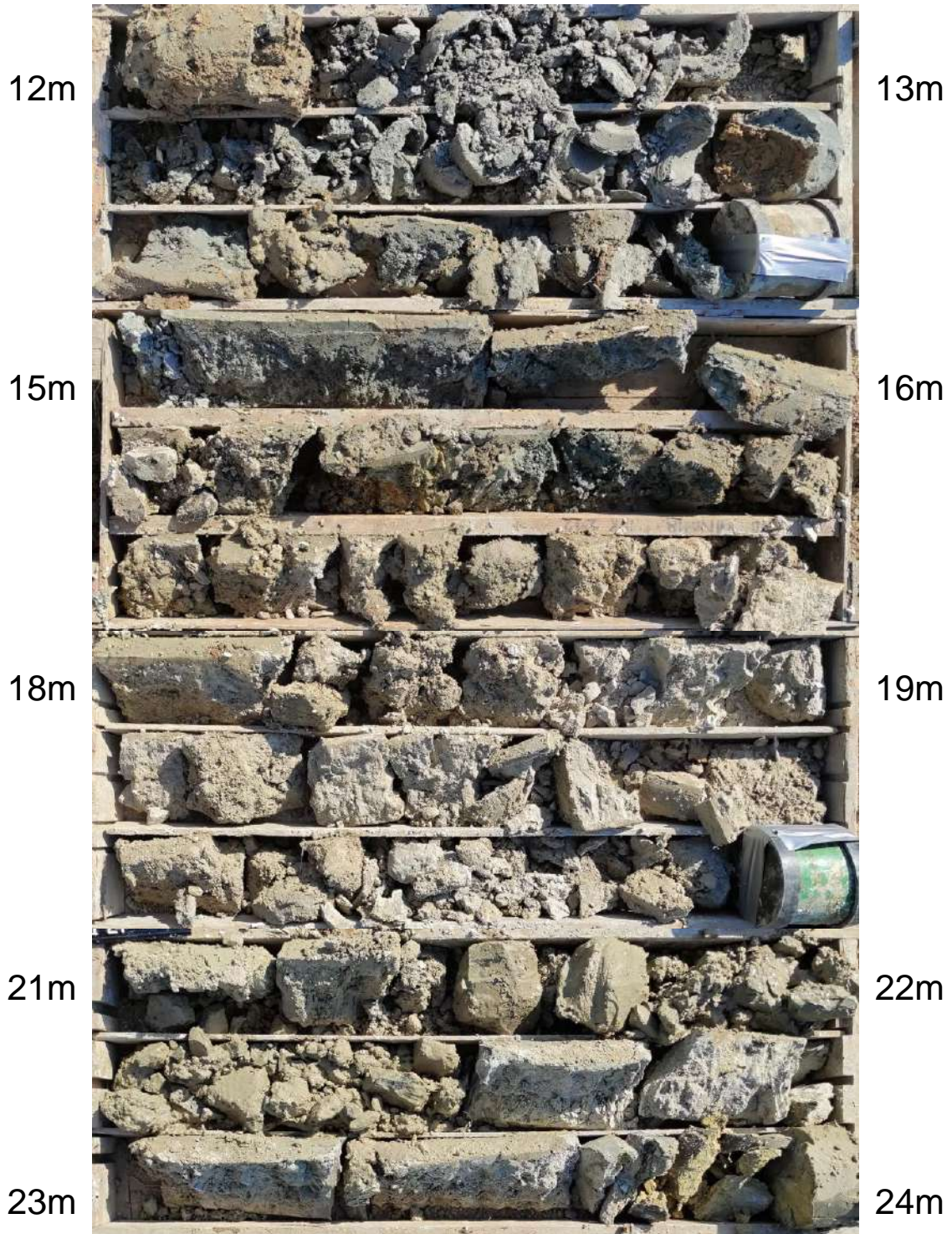


FOTODOKUMENTACE VRTNÉHO JÁDRA

RS 1 VRT Prosenice – Ostrava-Svinov,
I. Část, Prosenice – Hranice ne Moravě

JV-1104

2/2

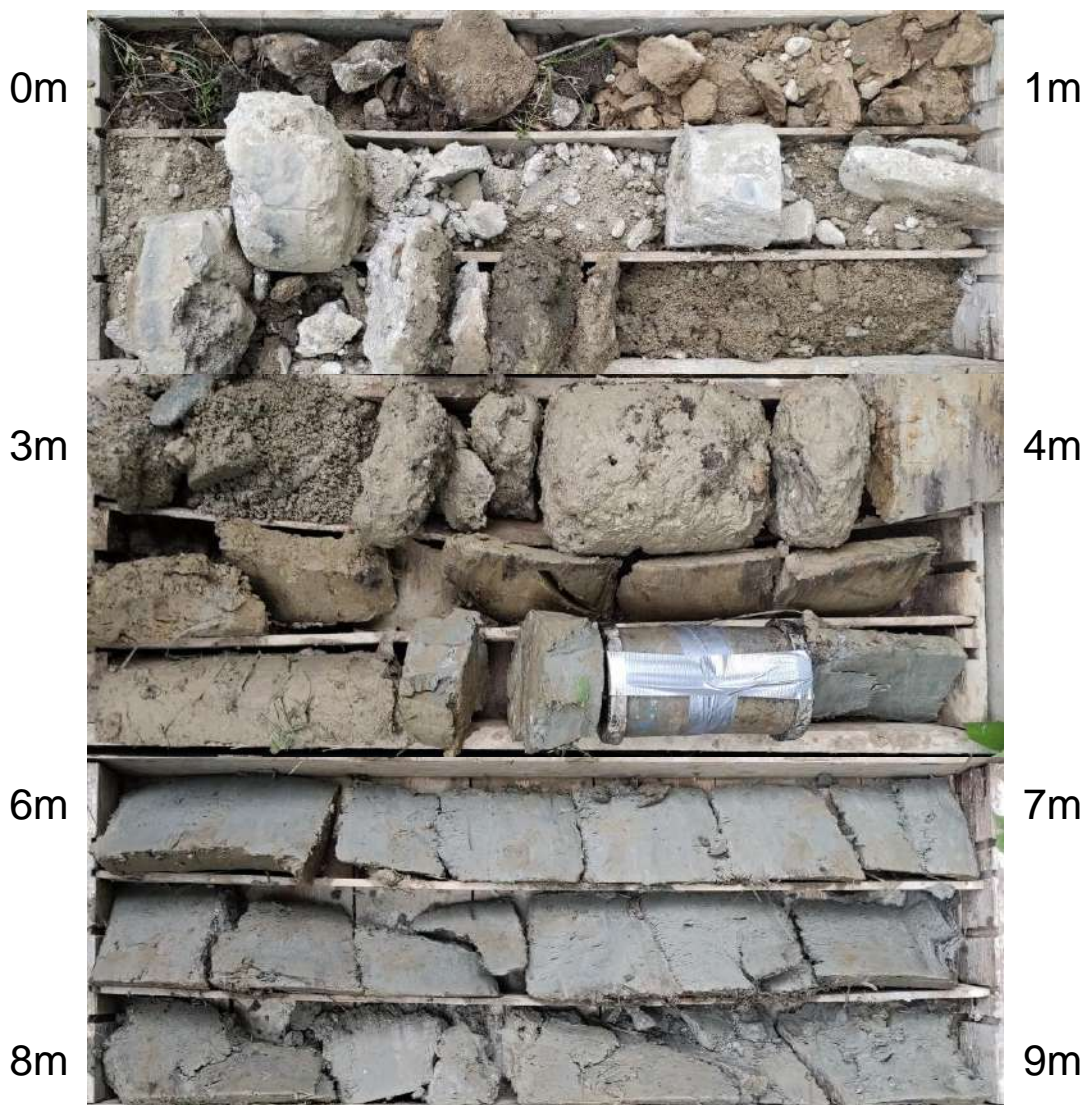


FOTODOKUMENTACE VRTNÉHO JÁDRA

RS 1 VRT Prosenice – Ostrava-Svinov,
I. Část, Prosenice – Hranice ne Moravě

JV-1224

1/2



FOTODOKUMENTACE VRTNÉHO JÁDRA

RS 1 VRT Prosenice – Ostrava-Svinov,
I. Část, Prosenice – Hranice ne Moravě

JV-1224

2/2

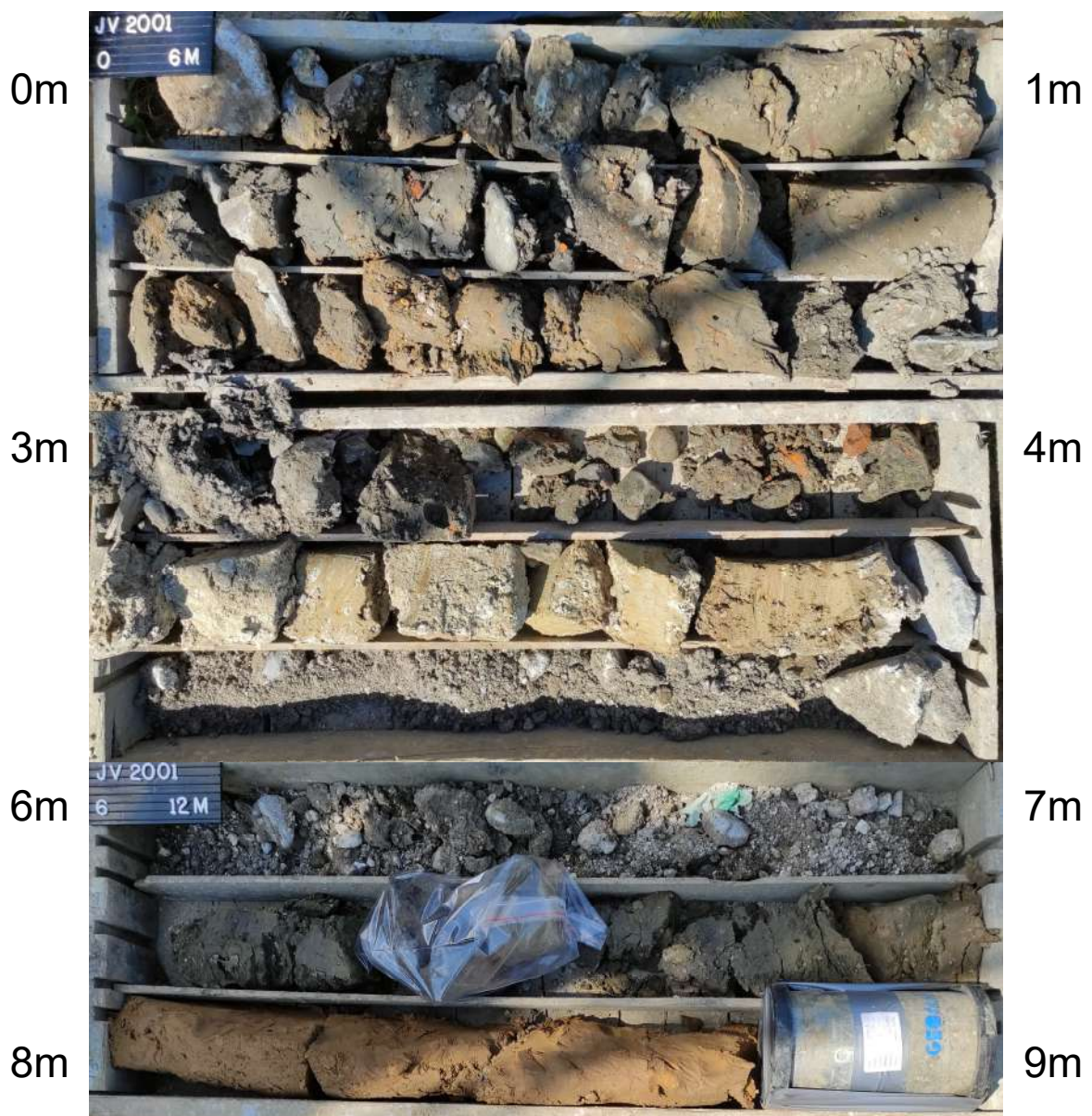


FOTODOKUMENTACE VRTNÉHO JÁDRA

RS 1 VRT Prosenice – Ostrava-Svinov,
I. část, Prosenice – Hranice n. M.

JV2001

1/2



FOTODOKUMENTACE VRTNÉHO JÁDRA

RS 1 VRT Prosenice – Ostrava-Svinov,
I. část, Prosenice – Hranice n. M.

JV2001

2/2

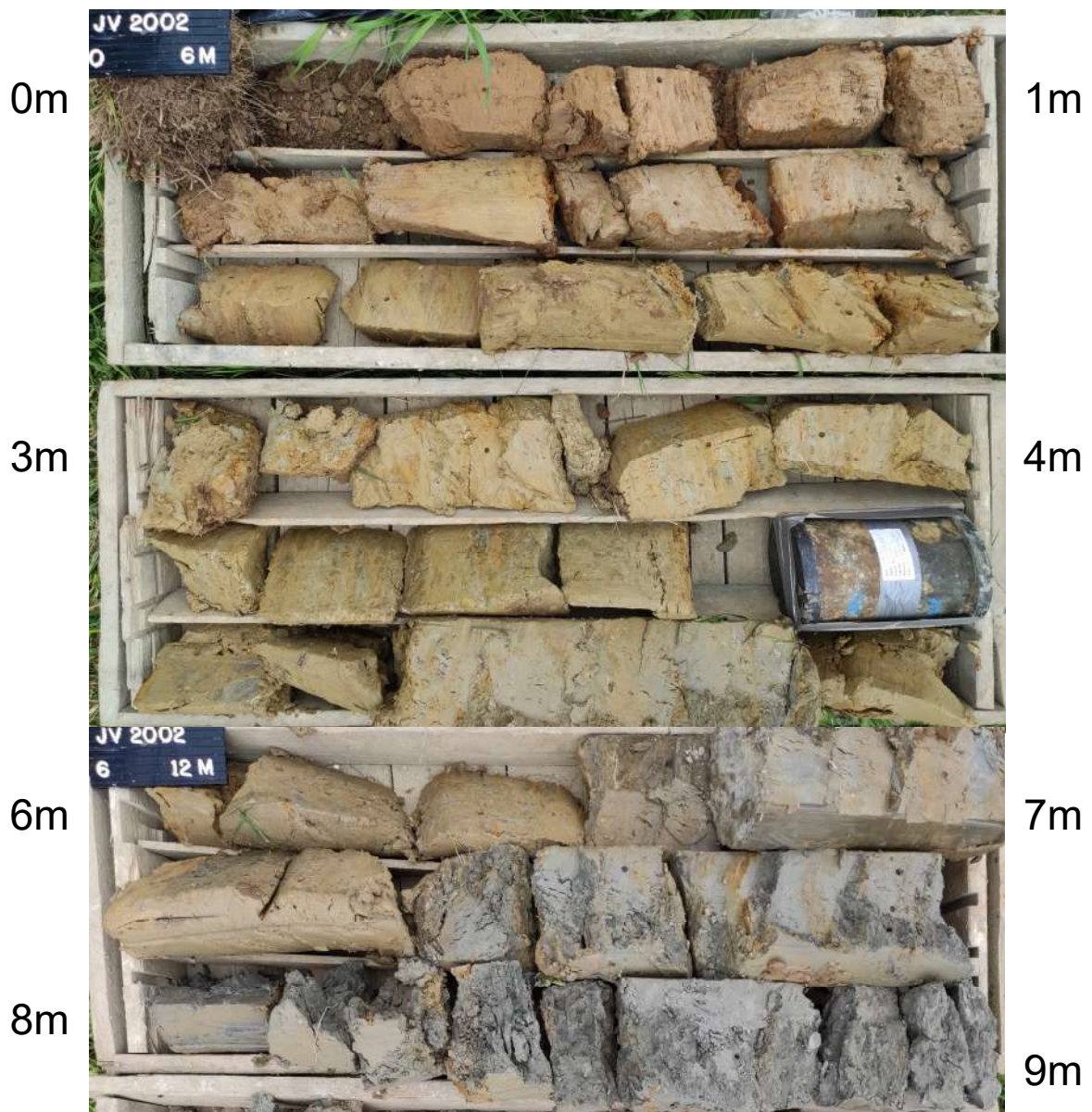


FOTODOKUMENTACE VRTNÉHO JÁDRA

RS 1 VRT Prosenice – Ostrava-Svinov,
I. část, Prosenice – Hranice n. M.

JV2002

1/2



FOTODOKUMENTACE VRTNÉHO JÁDRA

RS 1 VRT Prosenice – Ostrava-Svinov,
I. část, Prosenice – Hranice n. M.

JV2002

2/2

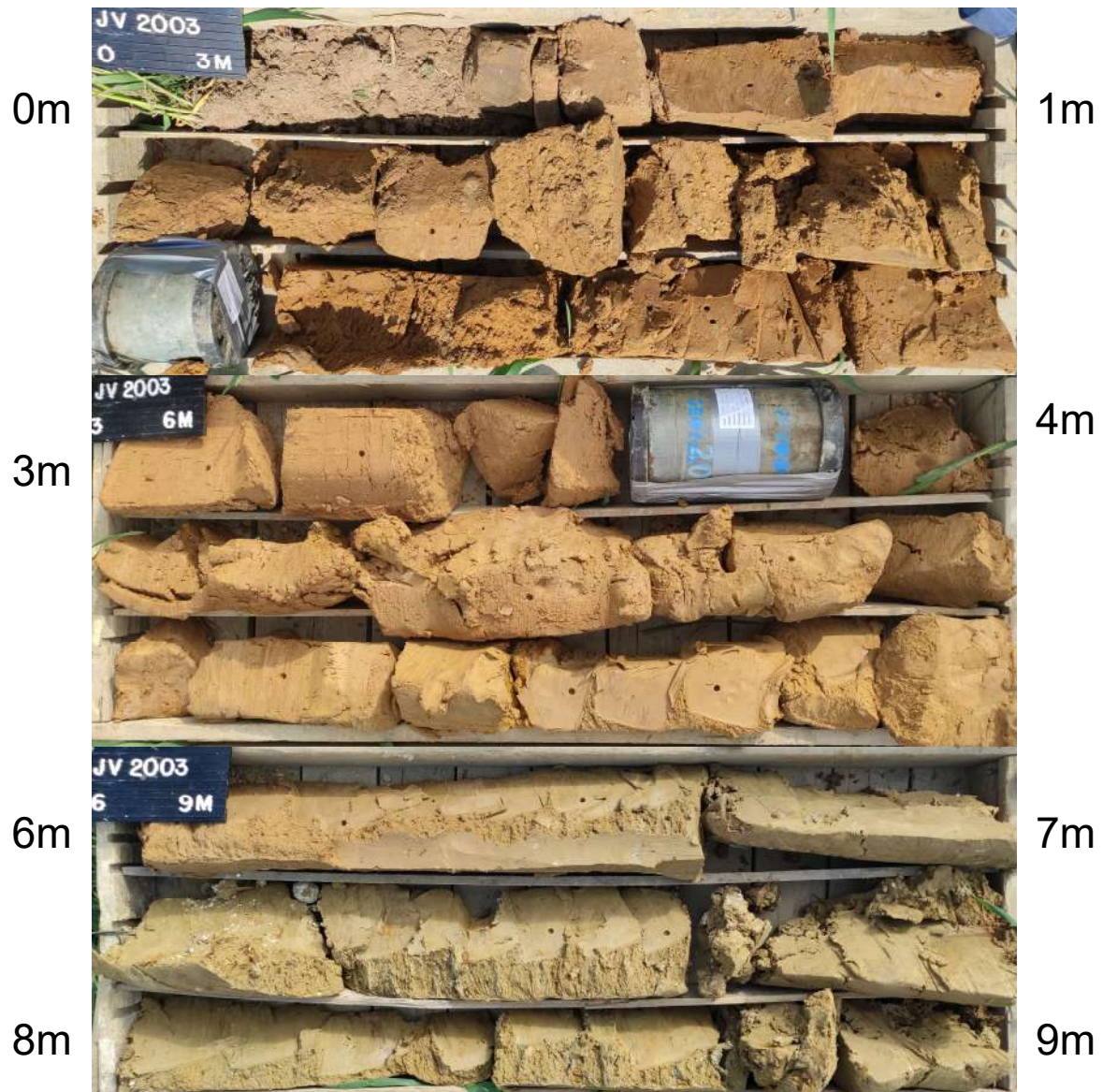


FOTODOKUMENTACE VRTNÉHO JÁDRA

RS 1 VRT Prosenice – Ostrava-Svinov,
I. část, Prosenice – Hranice n. M.

JV2003

1/2



FOTODOKUMENTACE VRTNÉHO JÁDRA

RS 1 VRT Prosenice – Ostrava-Svinov,
I. část, Prosenice – Hranice n. M.

JV2003

2/2



FOTODOKUMENTACE VRTNÉHO JÁDRA

RS 1 VRT Prosenice – Ostrava-Svinov,
I. část, Prosenice – Hranice n. M.

JV2004

1/2

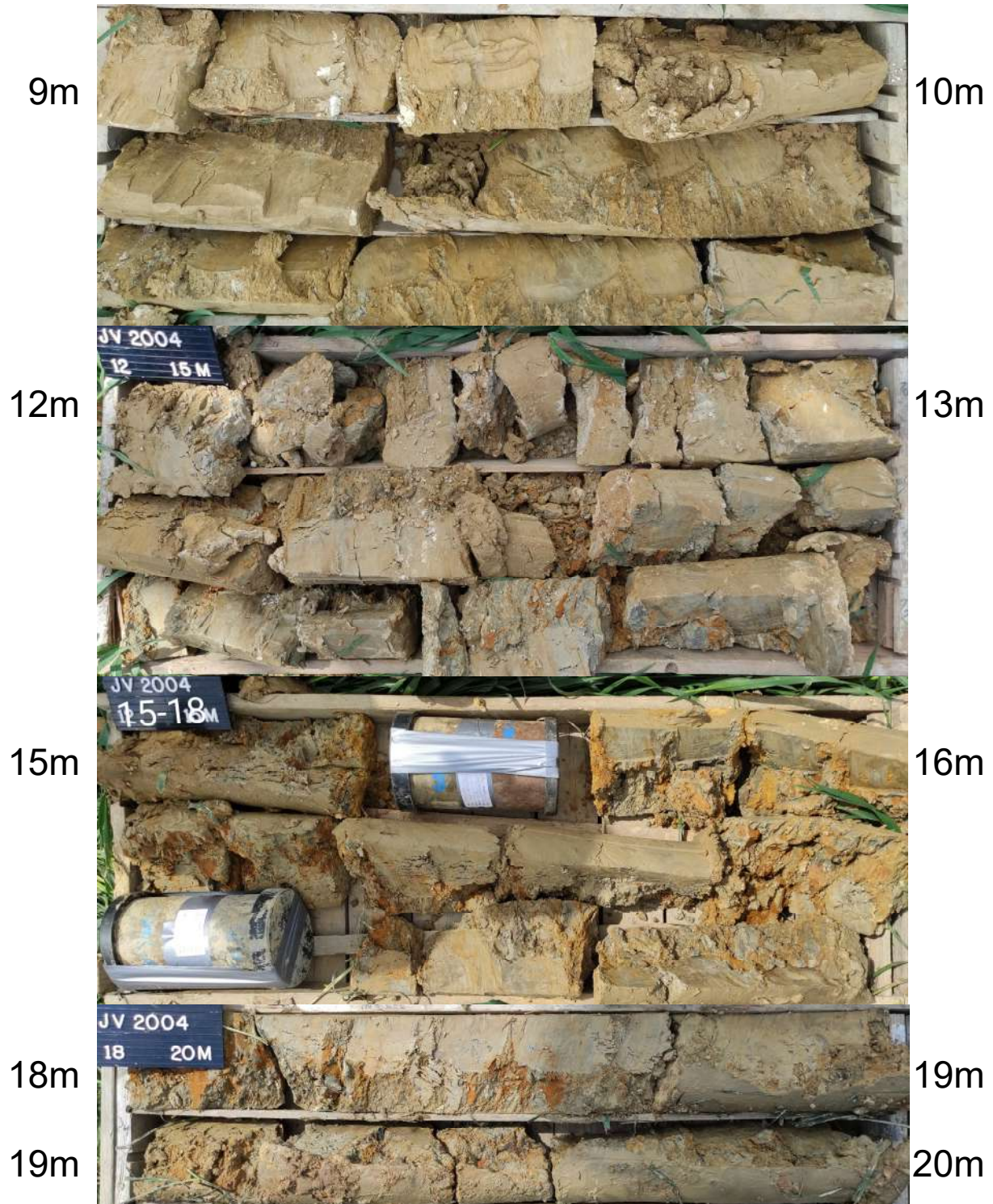


FOTODOKUMENTACE VRTNÉHO JÁDRA

RS 1 VRT Prosenice – Ostrava-Svinov,
I. část, Prosenice – Hranice n. M.

JV2004

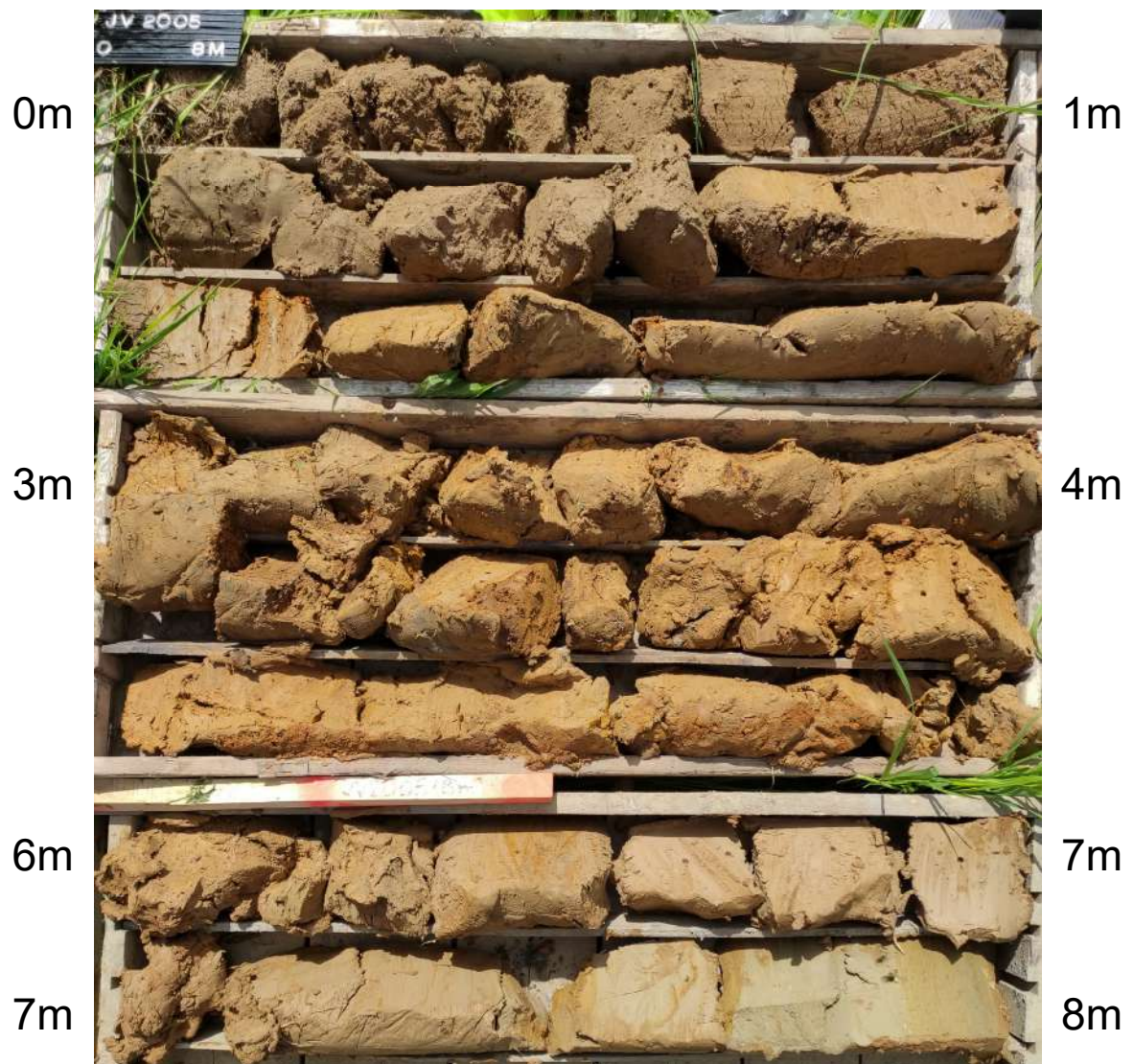
2/2



FOTODOKUMENTACE VRTNÉHO JÁDRA

RS 1 VRT Prosenice – Ostrava-Svinov,
I. část, Prosenice – Hranice n. M.

JV2005

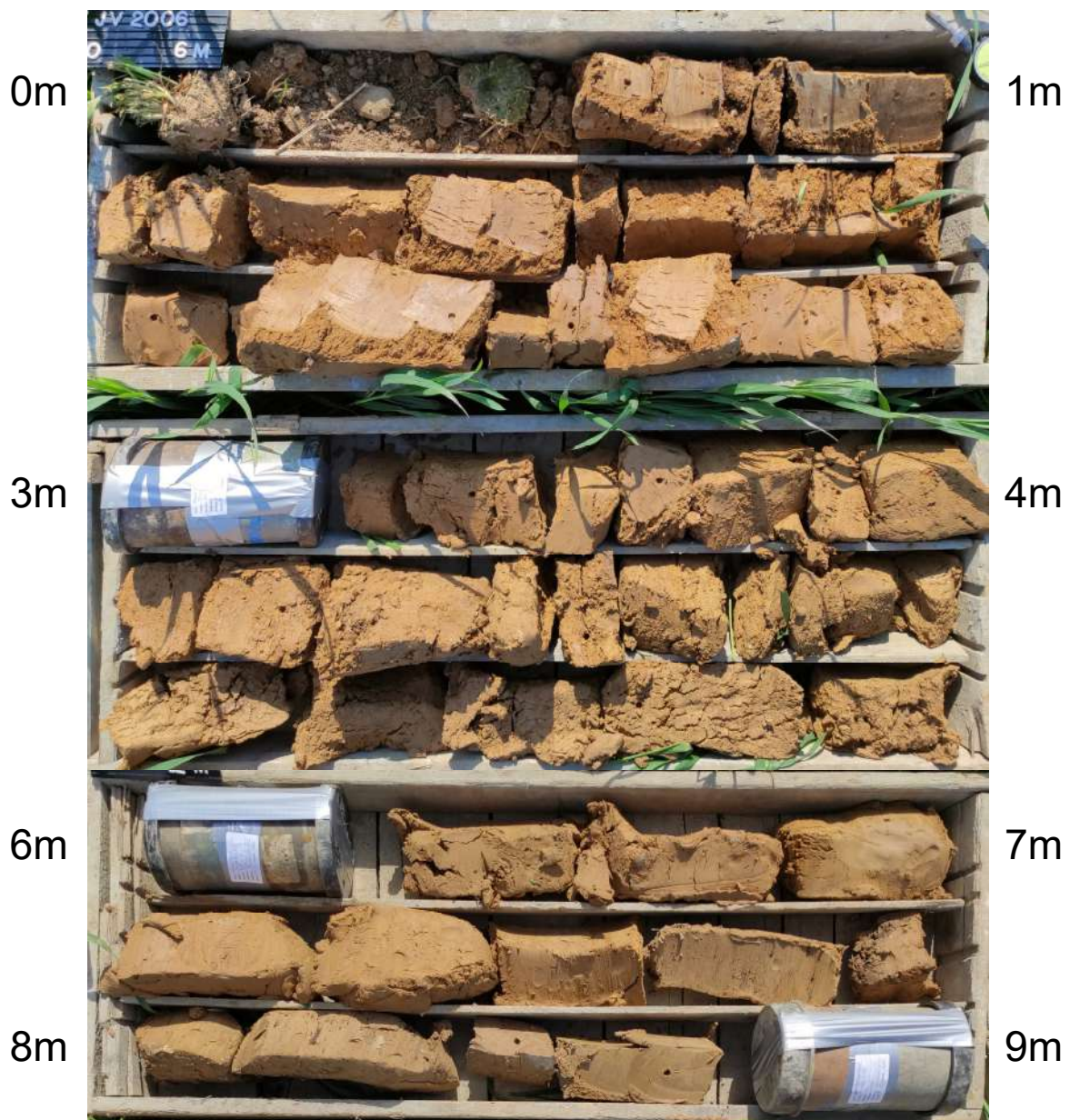


FOTODOKUMENTACE VRTNÉHO JÁDRA

RS 1 VRT Prosenice – Ostrava-Svinov,
I. část, Prosenice – Hranice n. M.

JV2006

1/2

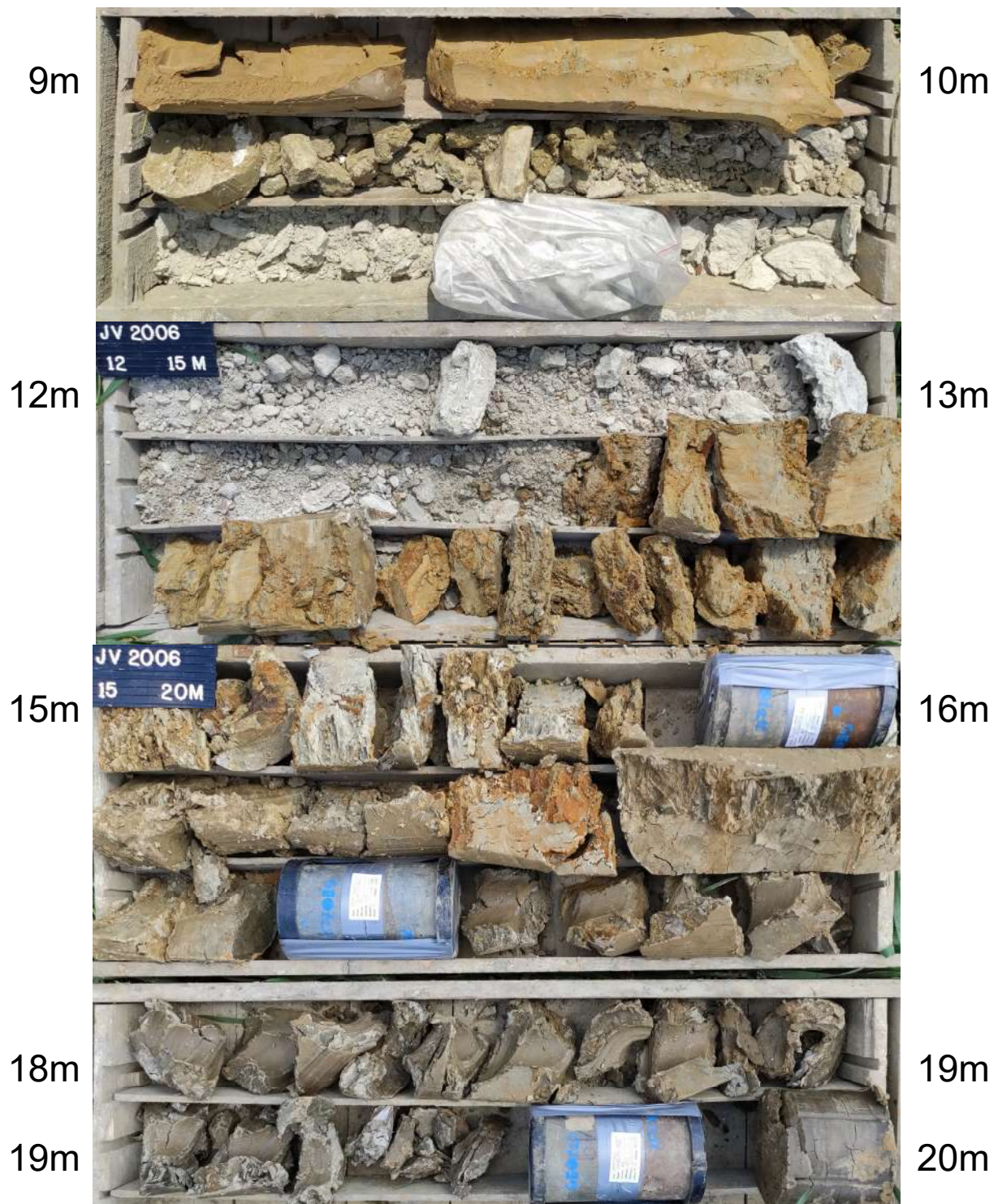


FOTODOKUMENTACE VRTNÉHO JÁDRA

RS 1 VRT Prosenice – Ostrava-Svinov,
I. část, Prosenice – Hranice n. M.

JV2006

2/2



FOTODOKUMENTACE VRTNÉHO JÁDRA

RS 1 VRT Prosenice – Ostrava-Svinov,
I. část, Prosenice – Hranice n. M.

JV2007

1/2



FOTODOKUMENTACE VRTNÉHO JÁDRA

RS 1 VRT Prosenice – Ostrava-Svinov,
I. část, Prosenice – Hranice n. M.

JV2007

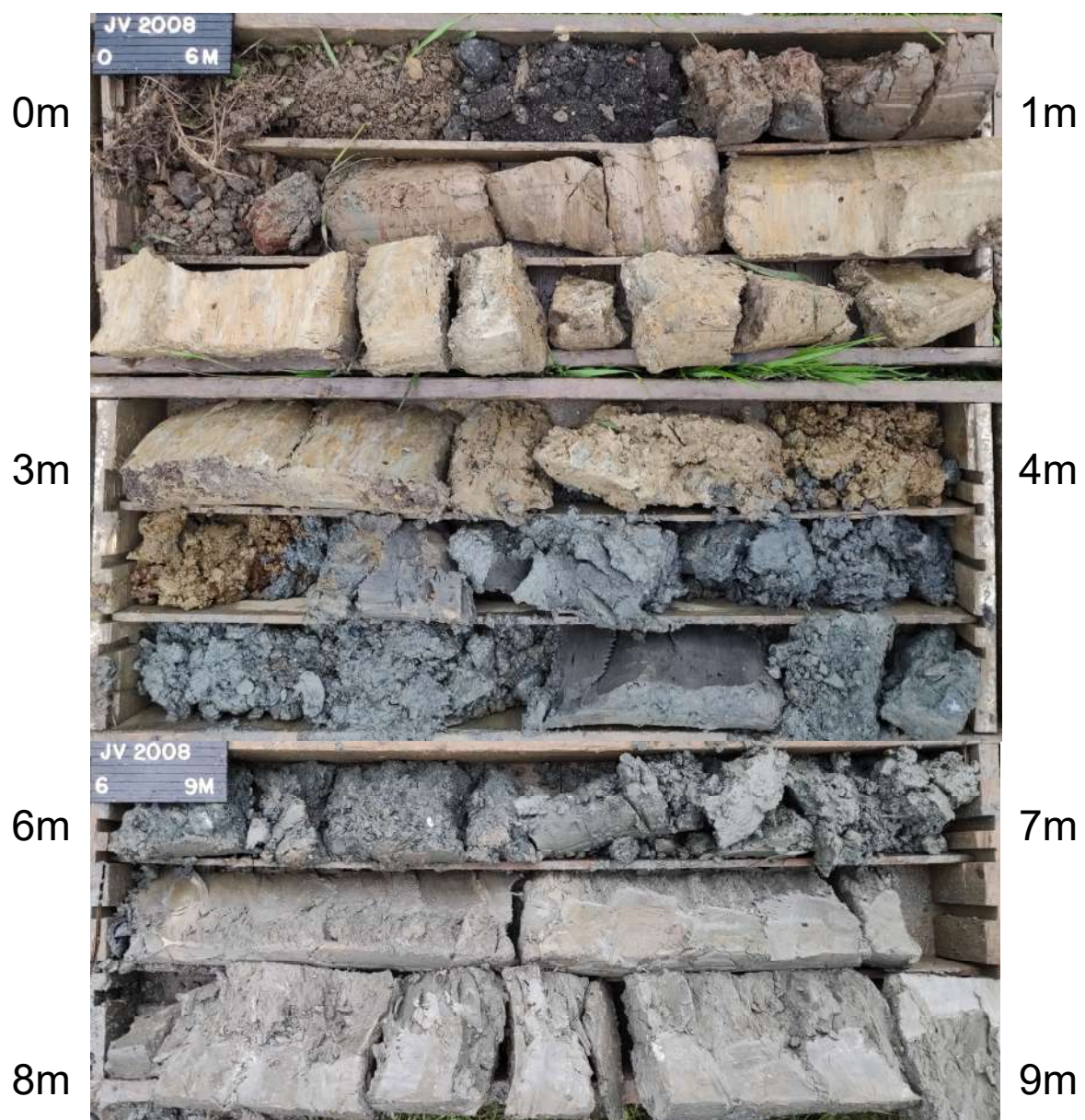
2/2



FOTODOKUMENTACE VRTNÉHO JÁDRA

RS 1 VRT Prosenice – Ostrava-Svinov,
I. část, Prosenice – Hranice n. M.

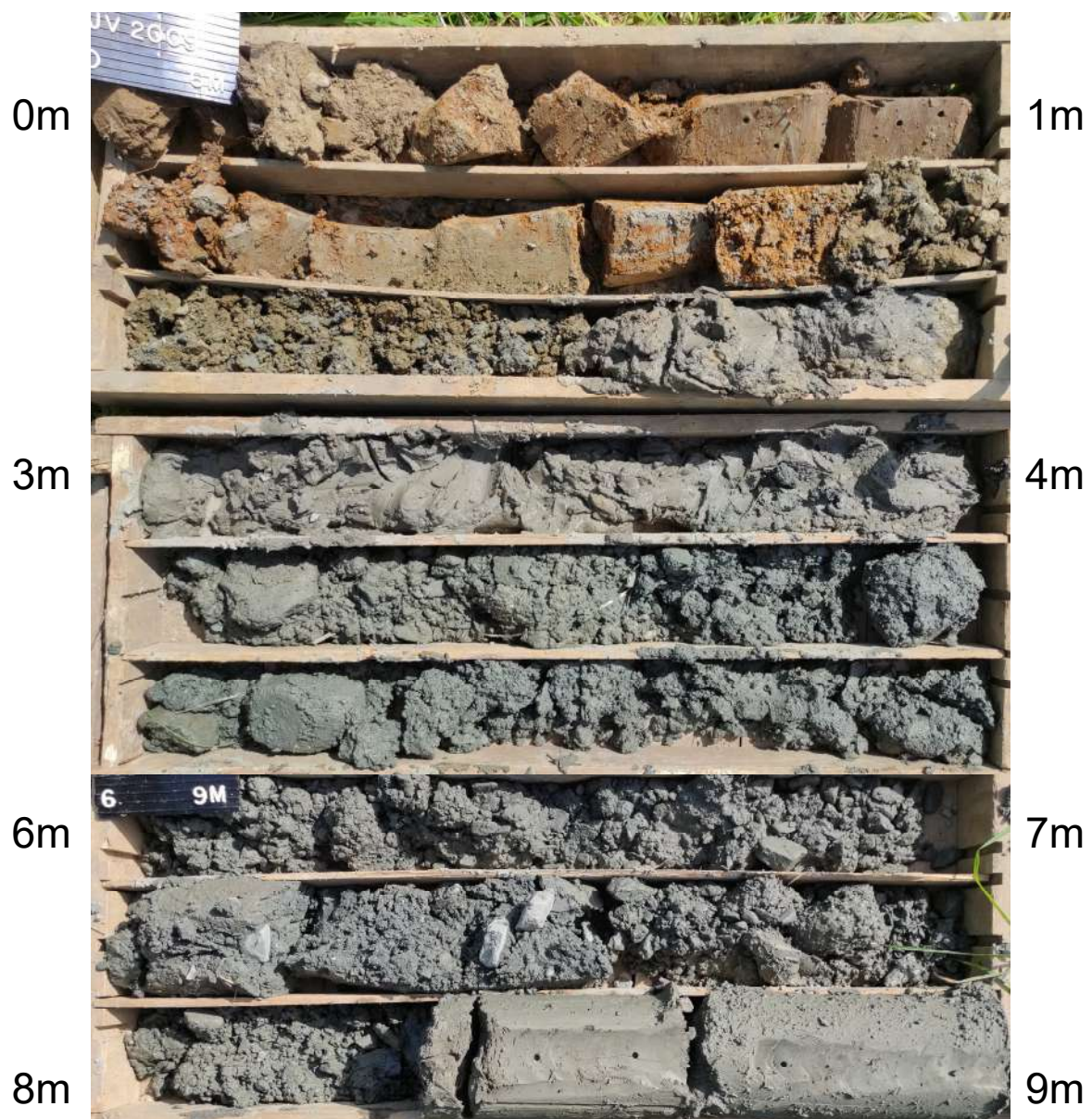
JV2008



FOTODOKUMENTACE VRTNÉHO JÁDRA

RS 1 VRT Prosenice – Ostrava-Svinov,
I. část, Prosenice – Hranice n. M.

JV2009



KS1093



KS1106

